

VYSOKÁ ŠKOLA STROJNÍ A TEXTILNÍ V LIBERCI
nositelka Řádu práce
Fakulta textilní
Katedra netkaných textilií

Ing. Mohamed Bachir Saleh JAWICH

PODMÍNKY POJENÍ BAVLNY VYUŽITÍM JEJÍ BOTNAVOSTI

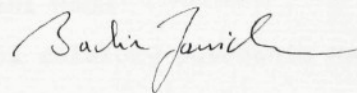
2, 3 - technické vědy a nauky
vědní obor 39 - 13 - 9
nauka o nekovových materiálech
a stavebních hmotách

Kandidátská dizertační práce

Školitel : Prof. Ing. Dr techn. Radko Krčma, DrSc.

Liberec 1984

Dovolují si tímto způsobem poděkovat svému školiteli
Prof.Ing.Dr techn. Radku Krčmovi, DrSc, za metodické vede-
ní a vytvoření podmínek ke vzniku této práce. Zároveň děku-
ji Bohuslavu Charvátovi, prom. chemikovi za cenné rady
a konzultace, které mi poskytl. Dík patří též všem zaměst-
nancům katedry, kteří mi vytvořili přijemné a přátelské
prostředí. Velmi důležité pro dokončení mé práce bylo po-
chopení a pomoc mé ženy a rodiny.

A handwritten signature in black ink, appearing to read "Barbara Janíčková".

OBSAH :	str.
1 ÚVOD	1
1.1 Obecný úvod	1
1.2 Využití botnavosti vláken k pojednání	3
1.3 Použití bavlněných vláken k výrobě netkaných textilií	4
 2 TEORETICKÁ ČÁST	7
2.1 Základní vlastnosti bavlny	7
2.1.1 Složení bavlny	7
2.1.2 Morfologie bavlněného vlákna	11
2.1.3 Sorpční vlastnosti	12
2.1.4 Chemické vlastnosti	16
2.1.4.1 Účinek NaOH na celulózu	17
2.1.4.2 Pronikání NaOH do bavlněného vlákna	19
2.1.4.3 Modifikace struktury celulózy vlivem působení NaOH	21
2.1.4.4 Botnání celulózy působením NaOH	25
2.1.4.5 Botnání bavlněných vláken	26
2.1.4.6 Rozpuštědla celulózy a účinek silných roztoků solí způsobujících její botnání	29
2.2 Problematika využití adhezních a kohezních sil	31
2.2.1 Vznik adhezních a kohezních spojů	31
2.2.2 Základní pojmy o adhezi a kohezi	33
 3 PRACOVNÍ HYPOTÉZA	37
 4 EXPERIMENTÁLNÍ ČÁST	38

4.1	Použitý materiál	38
4.2	Použité zařízení	40
4.3	Zkušební metody	41
4.4	Příprava roztoků botnadel	43
4.5	Pracovní postup	46
4.6	Výsledky měření a jejich zhodnocení	48
4.6.1	Měření pevnosti spojů v závislosti na koncentraci hydroxidu sodného	50
4.6.2	Měření pevnosti spojů v závislosti na koncentraci chloridu zinečnatého	50
4.6.3	Vliv přitlačné sily na pevnost spojů	53
4.6.4	Vliv doby působení botnadla na pevnost spojů	54
4.6.5	Měření závislosti pevnosti spojů na teplotě botnadla	54
4.6.6	Měření mechanických vlastností botnáním pojených textilií	55
4.6.7	Zhodnocení výsledků měření	61
4.7	Souhrn výsledků a diskuse	70
5.	ZÁVĚR	74
	Použitá literatura	75
	Seznam obrázků	79
	Příloha - tabulky měření	

1 ÚVOD

1.1 Obecný úvod

K nejstarším a nejvíce používaným textilním materiálům patří vlna, len, bavlna a přírodní hedvábí, které tvoří tzv. klasické materiály pro výrobu textilií. Ve světě je v poslední době o tento materiál zvýšený zájem. Syrská arabská republika věnuje pozornost bavlně, jejíž pěstování pokrývá asi 22 % celkové zemědělské produkce /1/. Zvyšování výnosu rozšiřováním další osevní plochy není možné vzhledem k potřebě půdy pro osazování potravinářskými typy plodin. Většina bavlny se zpracovává klasickými způsoby, kterými není možno zpracovat všechny druhy bavlněných vláken (t.j. vláken kratších délek a vláken odpadových). Naskytá se zde možnost využít k tomu některou z technologií pro přípravu netkaných textilií. Výroba netkaných textilií je vysoce progresivním odvětvím textilního průmyslu a trvale se v celém světě rozvíjí. Vyznačuje se zejména značnými technickými i ekonomickými výhodami oproti klasickým technologiím. Přednosti spočívají především ve :

- zkrácení technologického cyklu výroby
- vysoké pracovní rychlosti a produktivitě agregátů
- možnosti využití surovin, které nejsou jinak v textilním průmyslu zpracovatelné (krátká vlákna, odpady)
- rozšíření sortimentu výrobků se specifickými vlastnostmi
- snížení počtu obsluhujícího personálu
- vysoké produktivitě práce
- nízkých výrobních nákladech

Například z hlediska produktivity práce došlo v bavlnářských přádelnách u mykacích strojů ke zvýšení z původní produkce 3 kg/h na 15 kg/h. U vlnařských mykacích strojů ze 20 kg/h na 50 - 80 kg/h a u speciálních pneumatických strojů a hydroformerů i na několik set kg/h. Dle statistiky porovnávající produktivitu je u výroby tkanin uváděna relativní produkce 1, u výroby netkaných textilií suchým způsobem 100 a u výroby netkaných textilií papírenským (močkým) způsobem 10 000 /2/. Výsledky hledání nových vysoko produktivních způsobů výroby netkaných textilií jsou úspěšné zejména využitím poznatků chemie a fyziky hlavně v oblasti syntézy polymerů a jejich derivátů. Objevení termoplastických syntetických vláken a nových druhů syntetických povojí otevřelo široký prostor pro rozvoj výroby pojencích netkaných textilií /3/ a umožnilo efektivní využívání některých prvků klasických procesů předení (výroba rouna, mykání) i procesů tvoření oček na pletacích a šicích strojích vyvinout technologii mechanicky vázaných t.j. proplétaných a vpichovaných netkaných textilií. Nejrychlejší růst a vývoj zaznamenává výroba netkaných textilií přímo z polymeru pod tryskou (Spunbonded). Kromě syntetických polymerů dělí se v poslední době vyrábět netkané textilie přímo z polymeru na celulózové bázi, t.j. nikoli spředáním z taveniny (v suchém stavu) ale i z roztoků. Významným se ukázal pokrok ve vývoji vpichování využitím tryskového vpichování paprsků vody nebo vzduchu /4/. Zajímavá je výroba, při níž se využívá botnavostí vláken k pojenci. Výzkum autohezniho pojenci textilií zaslhuje větší pozornost, než mu byl dosud

věnován, neboť jsou zde nabízeny možnosti regulovatelné distribuce vězných míst bez zanášení dalšího pojiva. Studiem botnání celulózových vláken v alkalických roztocích a roztocích solí kovu chci přispět k poznání a využití autohezních vlastností bavlny k výrobě netkaných textilií.

1.2 Využití botnavosti vláken k pojaci

Polymery v určitém stavu zbotnání mají autohezní vlastnosti, kterých je možno využít pro výrobu netkaných textilií. Příkladem je botnání celulózových vláken a vláken z regenerované celulózy ve vodě, roztocích alkália a roztocích některých solí zejména dvojmocných a trojmocných kovů, dále esterů celulózy v parách organických rozpouštědel a polyamidů v roztocích některých solí /4/. Je chráněna /5/ výroba textilie z vláken nerozpustných ve vodě, které jsou pokryty částicemi polymeru, který se po navlhčení stává adhezivním. Částice některých polymerů ve vodě nabotnají a vytvoří gel obsahující velké množství vody. Takto se dá zpracovat například celulózový materiál působením alkalického křemičitanu (vodního skla). Pojený materiál /6/ je vyráběn například z vláken derivátů celulózy botnajících ve vodě. Technologie "EISENHUT" používá vlákna z regenerované celulózy, ze kterých se připraví lehká rouna o hmotnosti asi $0,030 - 0,050 \text{ kg/m}^2$, tato se zpracuje v roztoku asi 7 % hydroxidu sodného a ihned se dále přivádějí do zředěného roztoku kyseliny sírové, kde nastává autohezní spojení vláken a neutralizace /9/. Přiměsi 5-50 % botnavých celulózových vláken z esterifikované celulózy, zvláště hydroxietylcelulózy /10/ se dosahuje zpevnění vláken-

ného pramene nebo pásku. Vlákno se misí buď se základními nepojivými vlákny, nebo se vrství. Propojení se dosahuje vlivem vody nebo páry za určitého tlaku. Starší způsob výroby pojených textilií /11/ chrání postup, kdy se rouno vede mezi dvojici válců, z nichž jeden je opatřen razicími výčnělkami, kterými se přenáší rozpouštědlo na rouno a zároveň slisuje tlakem. Tím se zamezuje migraci rozpustidla a vytváří prepojení ve vzoru. Výhodné je, aby druhý hladký válec byl vyhříván na teplotu 90°C. Pro výrobu netkaných textilií se doporučuje několik typů pojivých vláken na bázi celulózy, která jsou schopna vytvářet mezi molekulami vodíkové můstky /12/.

S využitím botnavosti souvisí i údaje pojednávající o rychlé mercerizaci alkalickelulózy /7/. Alkalickelulóza se mercerizuje při vystavení radiofrekvenčnímu působení po dobu, která vyvolá depolymeraci na potřebný stupeň t.j. asi ze 700 - 1000 na 300 - 400. Zbotnání je možné vyvolat u celulózových vláken nejen alkalickými hydroxidy, ale též amoniakem /8/.

1.3 Použití bavlněných vláken k výrobě netkaných textilií

Vláknou vrstvu (pavučinu, rouno) lze z bavlněných vláken připravit mechanicky, pneumaticky a hydrodynamicky. Získané rouno se zpevňuje jednak mechanicky t.j. proplétáním sestavou nití nebo vlastním vláknem /13/. Technologie vtipkování není pro zpevňování bavlněných vláken vhodná. Kromě mechanických způsobů zpevňování se používá chemických způsobů, které využívají adheziva (pojiva). Nanesení adheziva se

provádí zejména těmito způsoby :

- impregnací rouna disperzem a roztoky pojiv, případně zpěněným pojivem
- stříkáním pojiva
- vzorovým nanášením pojiva
- mokrým způsobem t.j. že pojivo je aplikováno do zředěné suspenze vláken před naplavováním (papír. způsob)
- pojením termoplastickými pojivy v tuhé formě (t.j. práškovými polymery, vlákny, nitěmi, foliemi, mřížkami) lisováním za tepla
- pojením při němž se využívá autohezních vlastností vláken po jejich nabotnání ve vhodném rozpouštědle nebo roztoku. Pro vlákna celulózová nebo pro vlákna z regenerované celulózy se používají roztoky alkálií zejména NaOH a solí (například $ZnCl_2$).

Sortiment netkaných textilií z bavlněných vláken zpevňovaných mechanicky je vyráběn zejména na strojích Arachne nebo Mali. Získané proplety jsou zařazovány převážně do technických textilií jako například vložkové materiály do pryžové a kožené obuvi, jako obaloviny apod. Postupně je sortiment rozšiřován na výrobky jako ručníky, teplá prostěradla (fle-nely), ubrusy, žínky, plážové oblečení. Bavléné textilie pojené adhezně jsou používány jako mezipodšívky do kožené obuvi a dále jako výrobky pro jednorázové použití /14/ t.j. jako textilie k aplikaci pro hygienické účely a ve zdravotnictví. Tento typ pojených textilií zaujímá čelné místo ve světové spotřebě. Patří sem obalové textilie, plenkoviny různých druhů a konstrukcí, dámské hygienické vložky a tam-

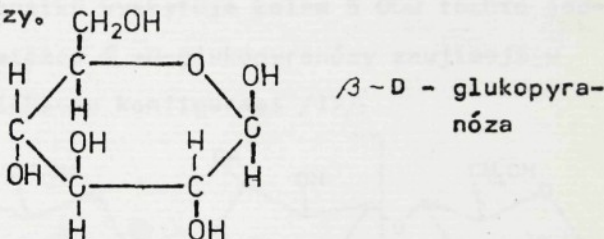
pony. Další skupinu tvoří lůžkoviny pro jedno použití, příkrývky, prádlo, utěrky, ubrousny, dále ochranné pracovní obleky. Ve zdravotnictví mají pojené textilie z hydrofilních vláken důležité místo jak z hlediska ekonomického tak i funkčního. Vedle různých druhů obvazových materiálů jsou to rozličné druhy tamponů a obkladů. Dále textilie pro oblyky, čepičky, roušky, zástěry a pláště k jednomu použití na operačních sálech, septických odděleních i oděvů pro pacienty, sterilní povlaky a přikrývky. Výrobky obsahující bavlněná vlákna jsou měkké, mají dobrou splývavost, jsou jemné, lehce přijímají vlhkost a po navlhčení neztrácejí pevnost. I když jsou známy tyto přednosti, podíl bavlněných vláken z celkového objemu vyráběných pojených textilií kleší. Je to dáno tím, že používané technologie založené na impregnaci rouna disperzem pojiv dávají poměrně tuhé plošné textilie s horšimi deformačními vlastnostmi. Uplatnění samotné bavlny je omezováno i tím, že v poslední době jsou využívána modifikovaná celulózová vlákna, jejichž sorpční vlastnosti převyšují sorpční vlastnosti bavlny. Využitím technologie, kdy se do soustavy vlákenného rouna nezavádí další druh pojiva, vede k výrobkům se zlepšenými deformačními vlastnostmi. Proto je stále nutné hledat vhodné možnosti využití bavlněných vláken pro přípravu pojených textilií.

2 TEORETICKÁ ČÁST

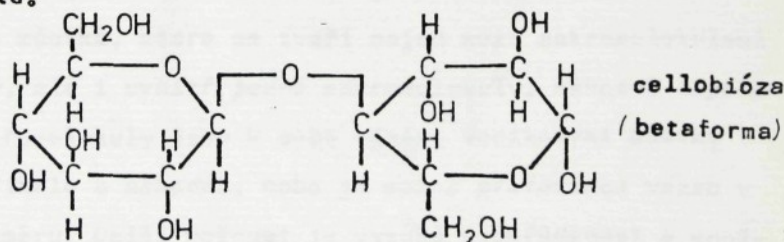
2.1 Základní vlastnosti bavlny

2.1.1 Složení bavlny

Bavlna vzhledem k jejím vhodným mechanickým vlastnostem, odolnosti proti zředěným chemickým činidlům a přijemným fyziologickým projevům patří k nejvýznamnějším textilním vláknům. Základní jednotkou bavlny je polysacharid celulóza, kterého obsahuje více než 90 %. Celulóza je tvořena lineárními molekulami polysacharidu. Jde o buněčnou stěnu, která je tvořena fermentativním působením enzymů. Ty postupně navazují molekuly β -D-glukopyranózy za rostoucí makromolekulu celulózy.

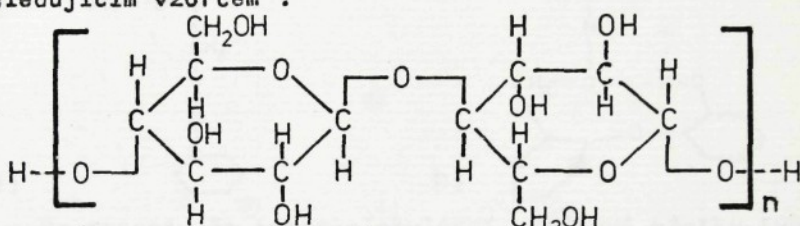


Spojováním β -D-glukopyranózových jednotek vzniká nejprve disacharid (cellobioza), dále trisacharid, tetrasacharid atd.

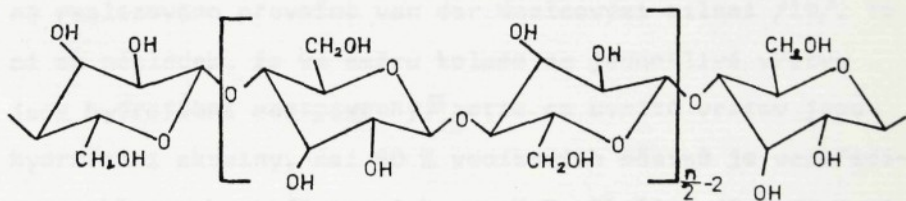


Navázáním několika tisíc β -D-glukopyranózových jednotek vzniká makromolekula celulózy. Délka makromolekuly se vyja-

dřuje pomocí polymeračního stupně a dosahuje hodnoty u lnu až 36 000, bavlny 10 800, sulf. celulózy 2 000 - 3 000 a u viskózy 460 /15/. Při sledování postupné hydrolyzy metylované celulózy v chloroformovém roztoku HBr, bylo stanoveno, že základní jednotkou celulózy je cellobioza /16/ kondenzační produkt β -D-glukopyranózy. Struktura řetězce celulózy (resp. jeden cellobiozový zbytek) je schematicky znázorněna následujícím vzorcem :



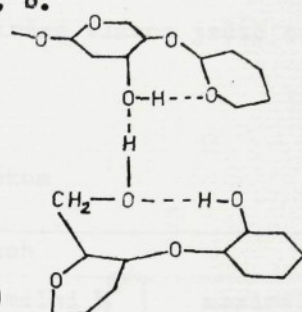
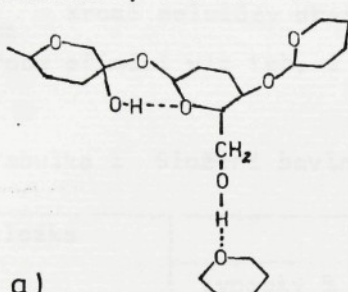
Periodita identity cellobiozy je 1,03 nm a v jednom řetězci se dle nových poznatků vyskytuje kolem 5 000 těchto jednotek. Jednotlivé řetězce β -D-glukopyranózy zaujmají v celulóze pouze židličkovou konfiguraci /17/:



Tvorba shluků makromolekul je podmíněna existencí vodíkových můstků, které se tvoří nejen mezi makromolekulami celulózy, ale i uvnitř jedné makromolekuly. Náhodně uspořádané makromolekuly jsou k sobě vázány vodíkovými můstky buď ojediněle a náhodně, nebo je možná preferenční vazeb v jednom směru. Další možnost je vysoká uspořádanost a množství vodíkových můstků po celé délce makromolekuly. Tak se tvoří vysoce orientované, uspořádané (krystal.) oblasti i

oblasti amorfni a samozřejmě i oblasti na rozhraní těchto mezních možností. Hydroxylové skupiny mohou tvořit sít různých intra- a intermolekulárních vodíkových můstků, které mohou být zprostředkovány i molekulou vody /18/.

Možné typy vazeb vodíkovými můstky jsou schematicky znázorněny strukturními vzorcemi a, b.



Je patrné, že intermolekulární vodíkové můstky tvoří především primární hydroxylové skupiny. To vede ke vzniku plošné struktury (vrstvy) propojené vodíkovými můstky. Tyto vrstvy jsou kladený na sebe a jejich spojení je pravděpodobně realizováno převážně van der Waalsovými silami /19/. To má za následek, že ve směru kolmém na jednotlivé vrstvy jsou hydrofóbni mezipovrchy, zatím co uvnitř vrstev jsou hydrofilní skupiny. Asi 60 % vodíkových můstků je uspořádáno v oblastech nepřístupných pro H_2O . Zbylých 40 % je v méně uspořádaných oblastech snadno přístupných pro H_2O . Polovina z těchto vodíkových můstků však připadá na hydroxylové skupiny umístěné na povrchu fibril /20/. Inter- a intramolekulární mezifibrilární vodíkové můstky je možno porušit například v kapalném čpavku, který tvoří s OH skupinami celulózových řetězců vodíkové můstky typu $-OH---N$, které jsou pevnější než původní vodíkové můstky typu $-OH---O$ /21/.

Porušování všech typů vodíkových vazeb se děje též při rozpuštění celulózy v klasických rozpouštědlech (Cuoxam) respektive v novějších rozpouštědlech (Cooxam, Zinkoxam, Nioxam, Cadoxam tj. komplexy kovů s etyléndiaminem, které jsou rozpustné ve vodě).

Kromě celulózy obsahuje bavlněné vlákno ještě celou řadu příměsi viz tab. 1 /15/.

Tabulka 1 Složení bavlněného vlákna

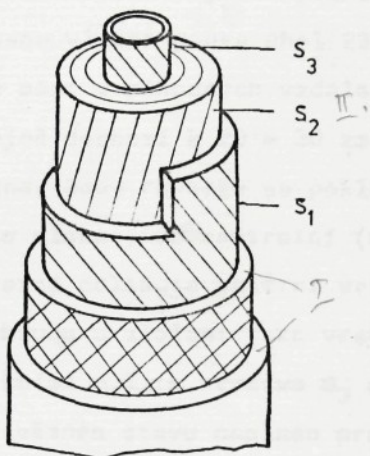
složka	obsah		
	typický %	minimální %	maximální %
celulóza	94,0	88,0	96,0
protein	1,3	1,1	1,9
pektiny	0,9	0,7	1,2
vosky	0,6	0,3	1,0
organ. kyseliny	0,8	0,5	1,0
minerální soli	1,2	0,7	1,6
cukry	0,3	-	-
ostatní	0,9	-	-

Po vyvářce a bělení obsahuje bavlněné vlákno až 99 % celulózy. Nižší obsah celulózy ve vláknech ukazuje, že jsou přítomna nezralá, případně mrtvá vlákna z čehož lze usoudit, že bavlna byla napadena některou z chorob.

2.1.2 Morfologie bavlněného vlákna

Zralé bavlněné vlákno má v tobolce před prvním usušením tvar válce skládajícího se z několika vrstev viz obr.

1.



Obr. 1 Struktura bavlněného vlákna

Na povrchu vláken je kutikula, která se skládá z vosku, pektinu a proteinu. Pod ní je tzv. primární stěna, která obsahuje křížem umístěné fibrilly tvořící fibrilární svazky, které svírají s osou vlákna téměř pravý úhel /22/. Tloušťka primární stěny je kolem $0,1 - 0,2 \mu\text{m}$. Kutikula tvoří spolu s primární stěnou vnější membránu bavlněného vlákna. Sekundární stěna nacházející se pod primární stěnou tvoří základní část (asi 95 % celého vlákna). Tato stěna se skládá ze 3 základních částí. Těsně pod primární stěnou je tenká ($0,1 \mu\text{m}$) první vrstva S₁, která je tvořena spirálami ze svazku fibril (o šíři asi 40 nm). /23/ svírajících s osou vlákna úhel kolem 35° . Vrstva S₁ je me-

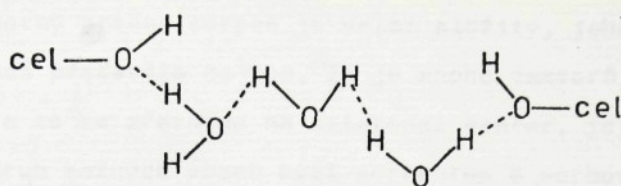
ně uspořádaná než centrální vrstva S_2 o tloušťce asi $14 \mu\text{m}$. Vrstva S_2 je tvořena mnoha koncentrickými fibrilárními mezi-vrstvami /19/ vznikajícími v důsledku kolisání denních a nočních teplot. Makrofibrily (o průměru kolem 100 nm) v jednotlivých mezivrstvách jsou opět spirálovitě uloženy, ale svírají s osou vlákna pouze úhel 23° /19/. Směr spirál ve vrstvě S_2 se mění v náhodných vzdálenostech (tzv. bodech reverze). Obyčejně dochází k 20 - 30 změnám směru spirál na 1 cm délky vlákna. Body reverze se pokládají za nejslabší místa bavlněného vlákna. Od centrální (S_2) vrstvy sekundární stěny se výrazně odlišuje vnitřní vrstva S_3 . Ta má zřejmě stejnou strukturu a složení jako vrstva S_1 . Její tloušťka se pohybuje kolem $0,1 \mu\text{m}$. Vrstva S_3 ohraničuje lumen, který je v nevysušeném stavu naplněn protoplazmou a celulárním roztokem /24/. Elektronovým mikroskopem bylo zjištěno, že se sekundární stěna skládá nejméně ze 7 strukturních jednotek - lamel, svazků fibril, neznámé mezivrstvy, základních fibril, dermatosonů, krystalických micel a makromolekul /25/.

2.1.3 Sorpční vlastnosti

Za určitých podmínek jsou vlákna schopna sorbovat určité množství různých látek, par, kapalin i roztoků. Základem předpokladem uskutečnění sorpcie je existence sorpčních center ve vláknech, která jsou schopna vázat dané látky. Podstatou existence center jsou atomy s dostatečně velkou volnou energií, které se vyskytují nejčastěji na vnitřním a venkovním povrchu vláken. Velmi často sorpční centra tvo-

ří funkční skupiny přítomné ve vláknech, schopné interakce s různými látkami. Především jde o sorpci vodní páry, která se v praxi označuje jako vlhkost vláken. Kromě sledování vlhkosti vláken je dôležité pozorovat též sorpci vody z kapalného prostředí. Vyjadřuje se nejčastěji jako schopnost zadržovat vodu. Obvykle při ní vznikají vedlejší reakce. Vzhledem k čisticím procesům je významná sorpce organických rozpouštědel, zředěných alkálií a detergentů. Vliv existence funkčních skupin interakce se sorbovanými látkami, stejně jako jejich nepřítomnost ve vláknech je možno relativně dobře interpretovat na sorpci vody nebo vodních par vlákny. Vlákna, která mají hydrofilní skupiny sorbuji vodu v podstatně větší míře než vlákna ve kterých se tyto skupiny nevyskytují /26/. Celulózová vlákna jejichž molekula celulózy obsahuje tři hydroxilové skupiny, připadající na každou glukózovou jednotku, mohou vodíkovými vazbami vázat na každé hydroxilové skupině molekulu vody.

Ne všechny hydroxilové skupiny však mají dostatečně velkou volnou energii, aby vázaly vodu. Obyčejně ty OH skupiny, které tvoří vodíkové vazby navzájem mezi jednotlivými řetězci, zejména v krystalických oblastech celulózy, nebo v amorfních oblastech, kde jednotlivé fáze mohou tvořit vzájemným propletením síť, jsou vzhledem k sorpci vlhkosti inaktivní. V případě sorpce vody z kapalného prostředí je sorpce vyšší. To je možné za předpokladu, že na jedno aktivní centrum se může sorbovat větší počet molekul vody, ale celulóza se ve vodě nerozpouští.



Obr. 2 Molekuly vody vázané vodíkovými můstky přímo na OH skupiny a další molekuly vody vázané na vodu z první vrstvy

Vlhkost jednotlivých vláken, stejně jako echopnost zadržovat vodu, která se označuje jako nabotnání je uvedena v tabulce 2 /15/.

Tabulka 2 Vlhkost a nabotnání vláken

Vlátko	A	B	C
Bavlna	7	24-27	45
Vlna	9	22	42
Přír. hedvábí	9	20	-
Viskozové hedvábí	13	-	95-120
2,5 Acetátové	6,5	14	20- 25
Polyamidové 6	4-4,5	8-8,5	-
Polyetylentereftalátové	0,3-0,4	0,5	3-5
Polypropylenové	-	<0,01	-
Polyakrylonitrilové	~1	-	4,5-6
Polyvinylalkoholové	3,4	-	25
Polyvinylchloridové	0,1	<1	-

A - vlhkost vláken při 65% relativní vlhkosti a 20°C v %

B - vlhkost vláken při 95% relativní vlhkosti a 25°C v %

C - nabotnání vláken v %

. Samotný proces sorpce je velmi složitý, jeho složitosť se zakládá především na tom, že je mnoho faktorů, které mají vliv a to se zřetelem na existenci center, jejich dostupnost, druh možných vazeb mezi sorbentem a sorbovanou látkou, vedlejší reakce, které se uskutečňují při sorpci, stejně jako podmínky při kterých se sorpce uskutečňuje. Počet přímo C_a a nepřímo C_b sorbovaných molekul vody, které připadají na jedno absorpční místo, možno určit ze vztahu:

$$C_a = 1 - e^{-C_c} \quad C_b = C_c - 1 + e^{-C_c}$$

kde C_c je celkový počet molekul vody připadající na absorpční místo. Pro závislost mezi relativní vlhkostí a absorpcí vlhkosti možno odvodit vztah /15/:

$$1 - \frac{p}{p_0} = /1 - KC_a/ \cdot e^{-BC_b}$$

kde K a B jsou konstanty

p - tlak par

p_0 - tlak nasycených par

Experimentálně získané výsledky při zkoumání sorpce vody bavlnou se dobře shodují s uvedenou teorií.

Doprovodným jevem sorpce je botnání vláken. Ve většině případů je přímoúměrná množství sorbované vody, čehož se někdy využívá ke zkoumání kinetiky sorpce. Botnáním se nejčastěji označují změny rozměrů vláken vlivem sorpce nebo jiných látek. Stupeň botnání S se všeobecně vyjadřuje poměrem změny určité rozměrové veličiny k původní veličině:

$$S = \frac{\Delta X}{X}$$

kde X může být průměr d, plocha průřezu A, když jde o botnání

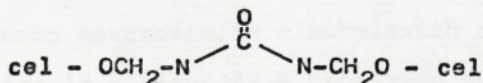
v příčném směru /S_d, S_a/ délka l pro botnání v podélném směru S₁, objem V pro objemové botnání S_v.

Jinou kvantitativní mřírou botnání může být poměr botnání v příčném a podélném směru K = S_d/S₁, čím lze vyjádřit anizotropii botnání. Ta je závislá na orientaci makromolekul, která se může ve vláknech měnit.

2.1.4 Chemické vlastnosti

Z chemického hlediska je u celulózy nejdôležitější přítomnost dvou sekundárních a jedné primární hydroxyllové skupiny v jednom β -D-glukopyranózovém zbytku. Tyto skupiny umožňují tvorbu značného počtu chemických reakcí například zesítění, esterifikaci, éterifikaci apod. Na podkladě chemické reaktivity bylo zjištěno, že nejvíce přístupná je hydroxilová skupina na uhliku C₂ /27/ avšak měřením pomocí NMR metoda bylo nalezeno, že reaktivita-OH skupin u jednotlivých uhliků následuje v tomto pořadí C₆ > C₂ > C₃ /18/. Při vlastních chemických reakcích záleží však do značné míry na typu reaktanta (např. při metylaci jsou reaktivnější sekundární -OH skupiny /28/. Siťování vyžaduje vazbu síťovacího prostředku s -OH skupinami celulózy, ať už se jedná o kovalentní vazbu, nebo jiný typ vazby. Tvorbu kovalentních vazeb síťovacích prostředků s celulózou dokázal Wagner a Pascu metylolací celulózy upravené formaldehydem /29/. Běžné síťovací prostředky jsou adiční sloučeniny desaktivátů močoviny, cyklických močovin, karbamátů, amidů kyselin aj. s formaldehydem. Představují poliacetaly, jejichž vazba N-C má nižší pevnost než je tomu u stejně vazby v al-

kylaminech. Ve vodných roztocích dochází k zpětné disociaci siťovacího prostředku na výchozí složky, proto probíhají vedle žádoucího zesítění

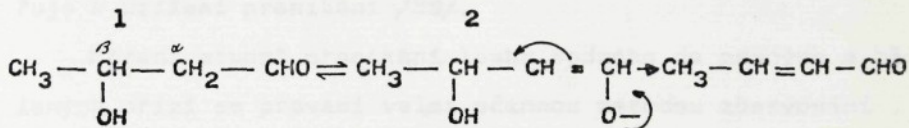


ještě další reakce, především zesítění celulózy formaldehydem a tvorba pryskyřičných polymerů. Závisí to na konstituci, reaktivitě, hydrolytické stabilitě, rovnovážné konstantě, koncentraci siťovacích prostředků, teplotě lázně, množství a druhu použitého katalyzátoru a na kondenzačních podmínkách. Uvedenými vztahy se podrobněji zabýval Petersen /30, 31, 32/. Kinetiku reakce etylenmočovinových derivátů s bavlněnou celulózou studoval Gonzales /33, 34/. Dle výsledků elektronové mikroskopie /35, 36/ a roentgenogramů /37/ k siťování dochází v méně uspořádaných oblastech mezi krystality a na jejich povrchu. Za nejúčinější příčnou vazbu je považována metylenová skupina siťování formaldehydem /38/

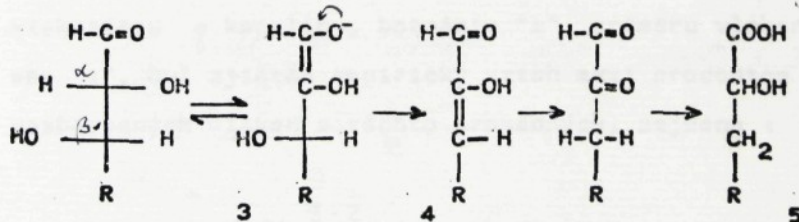
2.1.4.1 Účinek NaOH na celulózu

Alkalická degradace celulózy a modifikovaná celulóza jsou důležité na textilním poli, např. zrání celulózy sodou nebo rozvláčnování horkým hydroxidem sodným /39/. Celulóza je horkým hydroxidem sodným napadána pomalu a vznikající ztráta na hmotnosti je závislá na počtu přítomných aldehydických skupin. To napovídá, že rozrušování nastává postupně z redukovaného konce řetězce celulózy. Stabilita vůči hydroxidu Na může být dosažena oxidací aldehydových skupin.

karboxylem, redukcí alkoholem nebo blokováním vytvářením methylglykosidu. Na druhé straně chemické rozrušování vedoucí k zvyšování počtu karboxylových skupin (oxidace primárních nebo sekundárních alkoholových skupin) je příčinou, že celulóza je citlivější k hydroxidu sodnému. Studování rozrušování hydrocelulózy, oxicelulózy, modelových sloučenin jedistanem oxidované celulózy prokázaly, že mimo mnoha složitých možností, má reakce vyvíjející eliminaci alkoxylové skupiny určující úlohu. Způsob provedení může být demonstrován s odvoláním na konverzi aldolu na krotynyl aldehyd. Aldol je β hydroxyaldehyd, který se v přítomnosti hydroxidu sodného přeměňuje na krotonaldehyd. První krok vyvolává vytvoření endiolu, který je pravděpodobně v ionizované podobě v přítomnosti hydroxidu sodného, tzn. :



Iont je příčinou náboje akumulovaného na β atomu, jak je naznačeno šipkami. β hydroxylová skupina je z tohoto důvodu nestálá a ruší se. Když toto nastane, dvojná vazba se posune k α a β atomům uhlíku, které dávají krotonaldehyd.



Sloučenina -3 se potom přemění na diketon -4. Tento diketon je schopen podstoupit znovuuspořádání kyselinou benzilovou (difenylglykolovou) na kyselinu metasacharinovou -5. Metasacharinová kyselina byla identifikována v hydrolytických produktech hydrocelulóz, původně zpracovávaných v zásaditém prostředí, pokud nenastala další reakce /39/.

2.1.4.2 Pronikání hydroxidu sodného do bavlněného vlákna

Dosažení dokonalé mercerace vyžaduje dobré pronikání. Teoretický rozbor rychlosti mercerace je obtížný vzhledem ke komplexní geometrii vláken a výrobků, dále vzhledem k tomu, že botnání vnějších vláken (nebo povrchových vláken), které jsou v bezprostředním styku s louhou kapalinou směruje k ztížení pronikání /39/.

Měření stupně pronikání louhu sodného do praných a bělených přízí se provádí velmi účinnou metodou zbarvování jednotlivých vláken jódovými připravky a počítáním zbarvených a nezbarvených vláken. Při těchto pokusech jsou zbarvená vlákna mercerovaná. Pronikání probíhá snadněji u přízí, které nejsou pod tahem v průběhu mercerace. Jestliže jsou příze zpracovávány za tahu (napětí), který přesahuje určitý rozsah koncentrace a času, je pronikání ovlivněno viskozitou η kapaliny, botnáním "z", průměru vláken a časem "t". Byl zjištěn empirický vztah mezi procentem "p" nezbarvených vláken a těchto proměnných, zejména :

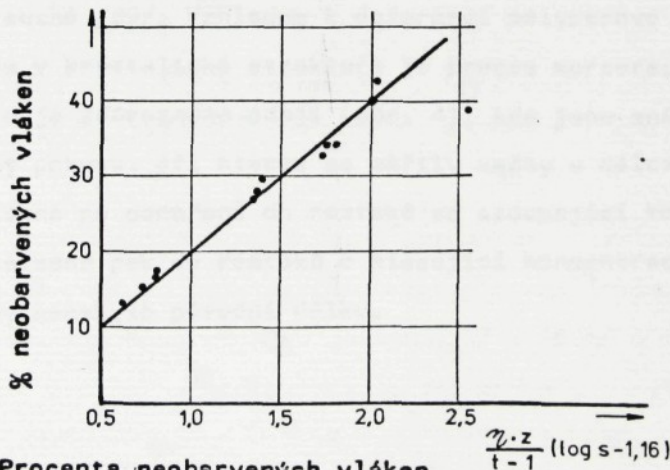
$$p \sim \frac{\eta \cdot z}{t-1}$$

Mercerace byla také studována jako funkce napětí v tahu, když bylo zjištěno, že "p" se mění lineárně s logaritem napětí (vyjádřeného v gramech na nit). Tento výsledek byl zkombinován s předchozí rovnicí pomocí rozsahu koncentrace kapaliny větší než 15 %, ale menší než 24 % hydroxidu sodného (W/W) do této rovnice : /39/

$$p \sim 20 \frac{\gamma \cdot z^2}{t-1} / \log s - 1,16 /$$

Rovnice je zajímavá proto, že vyjadřuje závislost pronikání na viskozitě γ a botnání "z", přičemž oboje klesá s teplotou. Mercerace bude tedy rychlejší se vzrůstající teplotou /39/.

Tento rozbor má určitý přínos pro praktický poznatek, že mercerace tvrdě skaných přízí a kordů je obvykle nepraktická vzhledem k nedostatečnému pronikání hydroxidu sodného a jeho následné obtížné odstraňování mytím. Pro zlepšení pronikání v praxi lze doporučit umožnění určité srážlivosti na počátku mercerace a použití vyšší koncentrace hydroxidů při poněkud vyšších teplotách.

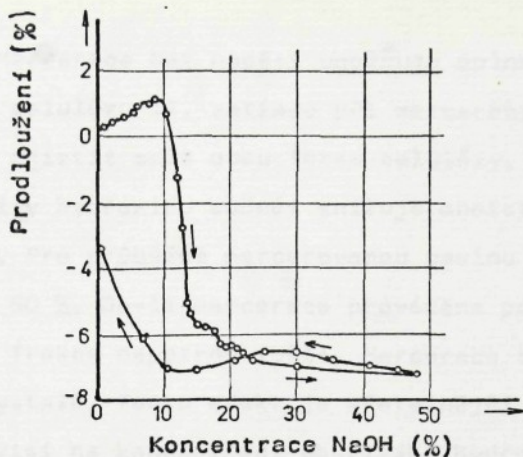


Obr. 3 Procents neobarvených vláken

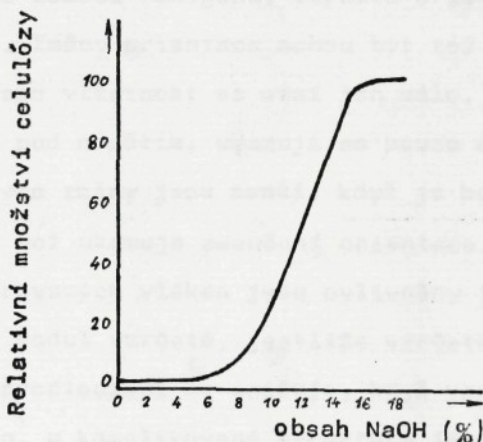
K úspěšnému průniku musí být vlákno rychle a rovnoměrně smočeno roztokem hydroxidu sodného. Pronikání hydroxidu může být někdy obtížné. K překonání tohoto nedostatku je k dispozici celá řada smáčedel, která mohou být přidána do mercerační kapaliny. Požadované množství smáčedla se pohybuje v rozmezí 0,5 - 1 %. Smáčedla jsou starostlivě vybírána, protože musí být rozpustná a stálá v silném roztoku hydroxidu. Jako uspokojivé a levné se ukázaly krezoly, mohou být však také použity určité organické fosfáty. V ČSSR se pro urychlení smáčení roztoky NaOH při mercerizaci používají SPOLMERCIT S na podkladě krezolu a SPOLMERCIT BP na podkladě sulfátovaného alkoholu a organických rozpouštědel.

2.1.4.3 Modifikace struktury celulózy vlivem působení NaOH

Vzhledem k vysoké afinitě je hydroxid sodný schopen proniknout nejen do amorfních oblastí, ale i do krystalických oblastí. Během tohoto procesu meziřetězcové síly slabou a pevnost materiálu klesá, ale to se objeví až když je vlákno suché /39/. Vzhledem k deformaci polymerové sítě a změnám v krystalické struktuře je proces mercerace nevratný. Toto je zdůrazněno údaji (obr. 4), kde jsou znázorněny výsledky pokusu, při kterém se měřily změny v délce bavlněného vlákna po ponoření do roztoků se stoupající koncentrací a následně pak do roztoků o klesající koncentraci. Vlákno nikdy nenabylo původní délku.



Obr. 4 Změny v délce bavlněných vláken při zpracování v serii roztoků hydroxidu sodného



Obr. 5 Změny v množství celulózy II vytvořené v bavlněném odpadu, vyjádřené jako funkce koncentrace hydroxidu sodného

Zkouškou paprsky X přírodní a mercerované bavlny bylo zjištěno, že změny v krystalické struktuře nastávají, přičemž původní celulóza I se mění na celulózu II v úplně mercerovaném vlákně. Pro bavlněně tobolky je pro představu rozsah tohoto jevu znázorněn jako funkce koncentrace na obr. 5. Rozsah, ve kterém se tvoří celulóza II je závislý na napětí v průběhu

mercerace. Mercerace bez napětí umožňuje úplnou konverzi celulózy I na celulózu II, zatímco při merceraci s napětím (tahem) lze zjistit směs obou forem celulózy.

Botnání v hydroxidu sodném snižuje množství krytalického podílu. Pro průběžně mercerovanou bavlnu je velká změna od 70 do 50 %. Je-li mercerace prováděna pod napětím, je krytalické frakce nepatrně vyšší. Mercerace také ovlivňuje velikost krytalů. Tento efekt je zřetelnější u dřevěné buňčiny a závisí na koncentraci použitého hydroxidu.

Orientace krytalických oblastí se botnáním změní. Jak je stanoveno pomocí rentgenu, vzrůstá orientační faktor s napínáním. Změny orientace mohou být též vyjádřeny měřením dvojstromu. Tato vlastnost se mění jen málo. Když je bavlna mercerována pod napětím, ukazují se pouze malé změny v orientaci, ale tyto změny jsou menší, když je bavlna mercerována bez napětí, což ukazuje zmenšení orientace. Fyzikální vlastnosti mercerovaných vláken jsou ovlivněny faktorem orientace. Youngův modul vzrůstá, jestliže vzrůstá orientace /39/. Přesto, u komplikované struktury jako je bavlna vlastnosti zbotnaného materiálu nejsou závislé výlučně na změnách krytalizace a orientace. Mercerace, a to jak volná tak pod napětím zvyšuje stejnoměrnost pevnosti po délce vlákna. Toto je přičítáno zvýšení pevnosti v nejslabším bodě vlákna. Větší stejnoměrnost je odvozena ze snížení koeficientu změn pevnosti a průtahu jednotlivých vláken. Mercerace zvyšuje pevnost v tahu u vláken vyloučením slabých míst /39/.

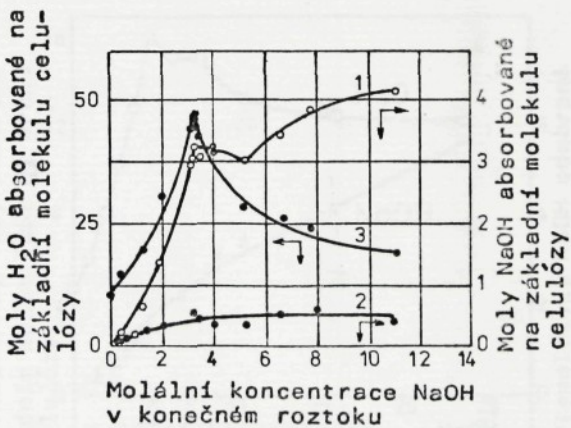
Již bylo uvedeno, že mechanické vlastnosti bavlny mají do jisté míry původ ve "spirálovité" struktuře. Jestliže je bavlna subjektem zatížení, dovoluje vinutí fibril prodloužení vlákna podobně jako u vinuté pružiny. V takové struktuře jako má bavlna, umožňuje určité rozkroucení, tj. obrácení směru ve spirálách. Navíc vlhká vlákna lze rozkroutit ve větším rozsahu než suchá vlákna, což přispívá k většímu prodloužení a jelikož jsou fibrily více seřazeny, je pevnost mokrých vláken větší. Je možné, že vlhkost působí jako "mazadlo" na povrchu fibril ve vzrůstových vrstvách. Fibrily se pak mohou relativně snadněji pohybovat jedna k druhé. Tento závěr je potvrzen skutečností, že prodloužení je největší a pevnost nejnižší u bavln s vysokým (strmým) úhlem zakroucení.

V mercerované celulóze lze očekávat dezorganizaci krytalické orientace v lokálním směru fibril. Redukce krytalického seřazení zejména v úhlu zakroucení je evidentní a musí být důsledkem určitého rozkroucení. Volná mercerace rovněž snižuje orientaci, jak je dokázáno pomocí dvojstromu /39/.

Vlákna (všeobecně) včetně bavlny jsou silnější, tužší a méně roztažitelná, čím více orientované jsou molekuly, přestože samotná orientace není příčinou rozdílu v pevnosti a roztažitelnosti jednotlivých druhů bavln. Tažné vlastnosti jsou ovlivněny např. počtem slabých článků, které mohou být u různých bavln různé.

2.1.4.4 Botnání celulózy působením NaOH

Ponoříme-li celulózu do roztoku hydroxidu sodného, voda a hydroxid vniknou dovnitř a materiál botná. Přednostně je adsorbován hydroxid. Při měření příjmu vody a hydroxidu sodného deskami z celulózy, mohou být stanoveny křivky přijímání. Výsledky těchto pokusů jsou znázorněny na obr. 6. Z těchto údajů lze vidět, že množství adsorbovaného hydroxidu sodného (křivka 1) je mnohem větší než výsledek velmi rozsáhlého botnání a adsorbce vody v celulóze. Nejpřitažlivější teorii s jejíž pomocí lze vysvětlit botnání celulózy je zjištění, že hydroxylové skupiny v anhydridu glukózy se chovají jako slabé kyseliny a štěpí se nezávisle jedna na druhé. V alkalickém médiu budou štěpeny v rozsahu závislém na koncentraci hydroxidu sodného. Přítomností iontů v celu-



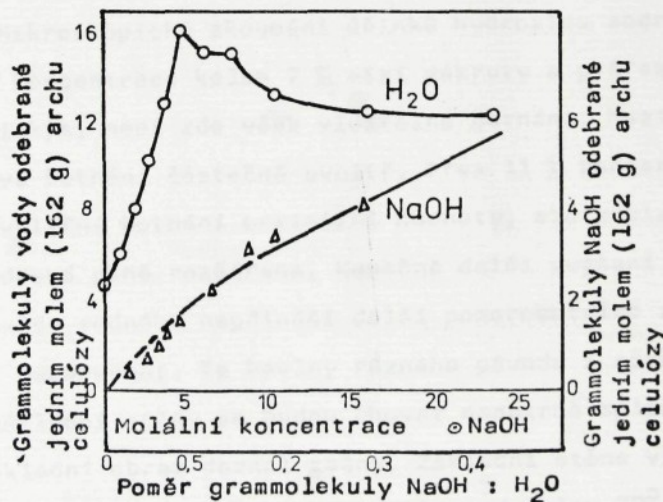
Obr. 6, NaOH a H_2O nasáklé deskou celulózy při $25^\circ C$
(Nealova data, přepočítaná Bancroftem a Calkinem)
1 - celkově nasáklý hydroxid sodný
2 - přednostně nasáklý hydroxid sodný
3 - nasáklá voda

lóze dochází k osmotickému tlaku, který umožňuje vstup vodě, dokud není vyvážen elasticími silami nabotnaných polymerů.

Jestliže je roztok hydroxidu nahrazen vodou, nerozštěpené hydroxylové skupiny se znova zformují. Osmotické tlaky z tohoto důvodu odpadnou a zanechávají celulózu v původním chemickém stavu. Jestliže osmotický tlak byl dostatečně vysoký, zůstanou polymery trvale deformované.

2.1.4.5 Botnání bavlněných vláken

Pro svoji vlákennou strukturu, která brání přesným měřením, není možný tak přesný postup jako u desky celulózy protože odebraná kapalina je obtížně odstranitelná. Chování je kvalitativně podobné, ale k maximu křivky botnání dochází při vyšší koncentraci hydroxidu sodného (obr. 7). /39/.



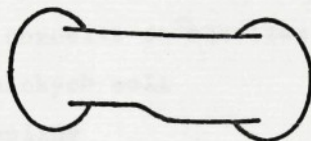
Obr. 7 Absorpce vody a NaOH bavlnou

Kromě toho je situace komplikovaná skutečností, že bavlna botná dovnitř a vyplňuje vnitřní část průřezu vláken, přičemž se průřez mění z tvaru bobu na eliptický dřívě, než dojde k viditelnému zvětšení tloušťky. Jakákoli komplexní teorie o bavlně musí mít na zřeteli její botanickou strukturu a komplexní reakce na aplikované síly.

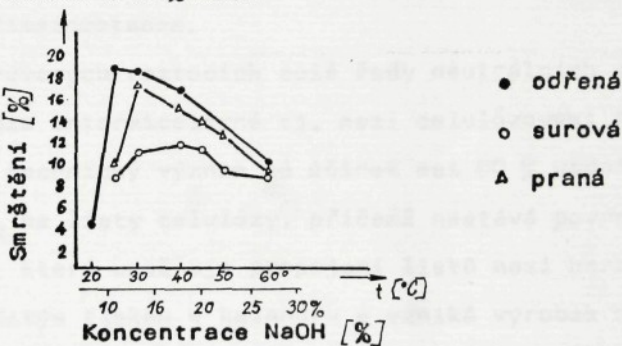
Botnání bavlněných vláken může být snadno pozorováno pod mikroskopem. Při ponoření do roztoku hydroxidu sodného se ploché, stužkovité vlákno kroutí a svijí. Vnitřní část průřezu vlákna mizí spolu se závity a průřez se mění z tvaru bobu nebo ucha do kulatého tvaru s vnitřní částí, objevující se navíc jako úzká štěrbina. Povrch vlákna se stává hladší a jednotnější, pouze při silném zvětšení mohou být vidět příčné vrásky a záhyby. Je-li botnání prováděno za napětí, vlákno bude mít kruhový průřez, bude vícenásobně tyčince a bude mít hladší a lesklejší povrch.

Mikroskopické zkoumání účinků hydroxidu sodného ukazuje, že od koncentrace kolem 7 % mizí zákruty a průřez se stává eliptickým, není zde však viditelné botnání. Mezi 7 až 11 % nastává botnání částečně uvnitř. Přes 11 % koncentrace dosahuje vnitřní botnání maximální hodnoty, ale základní stěna není dosud plně rozšířena. Konečně další zvýšení koncentrace hydroxidu sodného nepřináší další pozorovatelné změny. Je nutné poznamenat, že bavlny různého původu s různou tloušťkou základní stěny se budou chovat nepatrně odlišně, aniž by základní obraz doznal změny. Základní stěna vlákna se svými fibrilami, tvořícími spirálu pod úhlem 70° tvoří překážku botnání. Zpracování bavlněných vláken hydroxidem sodným

neodstraňuje ani nezpůsobuje poškození základní stěny, pokud vlákna nebyla předem poškozena. Restrikce základní stěny může být demonstrována při zkoušce botnání ustríženého kousku vlákna, kdy celulóza bude vypadat z obou konců. Toto je graficky znázorněno na obr. 8. Jestliže základní stěna je modifikována nebo zničena jakýmkoli způsobem, např. mechanickým odřením smirkovým papírem nebo praním, srážlivost vláken vzrůstá, jak je vidět z obr. 9.



Obr. 8 Vypádání celulózy z konců vlasového fragmentu, smočeného v 30% NaOH



Obr. 9 Volná srážlivost odřených, surových a praných vláken

2.1.4.6 Rozpouštědla celulózy a účinek silných roztoků solí způsobujících její botnání

Rozpouštědlem celulózy je kapalina, která rozrušuje vodíkové vazby a nadmolekulovou strukturu celulózy a solvatuje celulózovou makromolekulu, případně se na uvolněné hydroxilové skupiny sama váže a tím vznikají molekulové sloučeniny. Celulóza při působení rozpouštědel nejprve nabotná a později vznikají koloidní roztoky. Celulóza se rozpouští v omezeném množství rozpouštědel, které dle chemického charakteru můžeme rozdělit do několika skupin :

- roztoky anorganických solí

- anorganické kyseliny

- organické amóniové zásady

- komplexní amóniové soli anorgan. hydroxidů a jejich analogy s 1,2-diaminoetanem.

V koncentrovaných roztocích celé řady neutrálních solí botná celulóza intermicelárně tj. mezi celulózovými řetězci. Například technický význam má účinek asi 60 % vodného roztoku $ZnCl_2$ na listy celulózy, přičemž nastává povrchová peptizace, která umožnuje propojení listů mezi horkými válci pod určitým tlakem v kalandru a vzniká výrobek nazývaný "vulkanfibr" /40/. Dochází ke snížení polymeračního stupně makromolekuly celulózy, což je způsobeno kyselou hydrolyzou vzniklých komplexních sloučenin zinku, které vytvořil $ZnCl_2$ reakcí s vodou jako např. $ZnCl_2 \cdot OH \cdot H$ nebo $ZnCl_2 \cdot OH \cdot 2H_2$ a též působením uvolňující se HCl . Podobně jako $ZnCl_2$ působí na celulózu $AlCl_3$, $SnCl_4$, $TiCl_4$. Byl sledován účinek roztoků i dalších solí a byla zjištěna rozpustnost při zvý-

šené teplotě /41, 42/. Botnání celulózy se snižuje pro kationty v tomto pořadí : Li>Na>K>Rb>Cs>Mg>Ca>Sr>Ba. Zvláště silně botnají tyto soli : LiCNS, LiJ, KCNS, KHgJ₃, NaCNS, K₂HgJ₄. Pro anionty se snižuje botnání v pořadí : CNS>J>Br>Cl>F. R.O. Herzog a F. Beck zjistili, že schopnost solí dispergovat celulózu závisí na hydrataci iontů soli a to na součtu hydratací obou iontů /43/. Celulóza s vysokým polymeracním stupněm (bavlněná celulóza) v uvedených rozpouštědlech nabotnává ale neropustí se. Celulóza je rozpustná v 70 až 100 % kyselině sírové, v kyselině chlorovodíkové o vyšší konc. než 42 % při zvýšeném tlaku a v 85 až 100 % kyselině fosforečné /44/. K této skupině rozpouštědel můžeme zařadit kysličník siřičitý /45/ a 50 až 60 % roztok N₂O₄ v organických rozpouštědlech (nitroparafiny, estery) /46/. Byla zjištěna dobrá rozpustnost celulózy v N, N-dimetylformamidu a N,N-dimethylacetamidu s přídavkem N₂O₄ a nitrosylchloridu /47/. Kapalný amoniak se při -35°C chová podobně jako roztoky hydroxidu sodného a vytváří amóniumcelulózu /48/. Některé organické analogy amoniaku jako například tetraalkylamoniumhydroxidy /R₄N⁺HO⁻/ celulózu nabotnávají a postupně rozpouští. Z komplexních amonných sloučenin je nejdůležitějším rozpouštělem celulózy amohydroxid měďnatý [Cu/NH₃]_n/OH/₂ nazývaný "Schweizerovým činidlem" nebo zkráceně "kuoxam", který vzniká účinkem amoniaku na hydroxid měďnatý, přičemž v roztoku se nachází většinou ve formě tetrákomplexu (n=4). Zásada je stálá pouze v přebytku amoniaku [Cu/NH₃]₄/OH/₂ ⇌ Cu/OH/₂ + 4 NH₃.

Rozpouštěcí síla kuoxamu se silně mění s jeho složením.

Rozpuštěcí účinek souvisí s obsahem mědi v činidle. Koncentrace vznikajícího roztoku celulózy v kuoxamu závisí též na druhu a předchozí úpravě celulózy, na jejím odbourání atmosférickým kyslikem a na poměru rozpustěné celulózy k činidlu /49/. Byla připravena obdobná činidla při použití hydroxidů niklu, kadmu nazvaná nioxam, cadoxam. Záměnou amoniaku 1,2-diaminoetanem byl připraven organický analog cuoxámu - cuoxén /50/. Z rozpuštědel menšího významu možno uvést železito-sodný komplex kyseliny vinné /51/ a měďbiuretový komplex /52/.

2.2 Problematika využití adhezních a kohezních sil

2.2.1 Vznik adhezních a kohezních spojů

K výrobě pojených textilií se používá vlákenný materiál a pojivo. Za určitých podmínek může sám vlákenný materiál působit jako adhezivum. Využívá se například termoplasticity vláken, botnavosti vláken, případně rozpouštění vlastních vláken za různých podmínek. Základním předpokladem, aby pojivo působilo jako vazný materiál je, aby s vlákenným materiálem vytvořilo chemickou nebo fyzikální vazbu, která musí být dostatečná pevná. Síly vyvolávající přilnavost adheziva a pojeného materiálu (adherendu) označujeme jako adhezi. Má-li pojivo a spojovaný materiál stejná složení, jde o autohezi. Pro pevnost spoje má význam nejen adheze pojiva k pojenému materiálu, ale i soudržnost filmu pojiva po ztuhnutí nebo vytvrzení. Jde o tzv. kohezi, jejíž hodnoty závisí na složení filmu pojiva v konečné fázi pojení. Aby bylo pojivo

schopno vytvořit adhezni spoje, musí vykazovat vůči základnímu materiálu (substrátu) přilnavost a musí substrát dobře smáčet.

Mechanismus adheze je dosud předmětem studia a názor na tento problém není dosud sjednocen /53/. Dle dnešních hledisek se jedná o spoje vytvořené buď chemickými vazbami, nebo v případě mechanické adheze se jedná o spoje vytvořené fyzikálními vazbami mezi nerovnými povrchy dvou substrátů vykazujících většinou půrovitý povrch /54/. Je zřejmé, že některé případy adheze lze vysvětlit nikoli jedinou teorií, ale třeba jednotlivé teorie sladit. Pro případ netkané textilie získané pojením je výklad adheze poměrně obtížný. Celý problém je nutno řešit komplexně, jednak z hlediska dějů přicházejících v úvahu při vzniku spoje, jednak z hlediska požadavků kladených na vlastní spoj. Děje přicházející v úvahu při tvorbě spoje : Ke vzniku spoje je nutno, aby se substrát (vlákno) a adhezivum (pojivo) smáčely. Další krok, tj. vzájemné působení pojivo-vlákno je ovládáno faktory, jejichž působení tkví v chemickém složení vlákna, reakci schopných skupin a ve fyzikálních vlastnostech povrchu vláken. V případě pojiva je to otázka chemického složení (reaktivní pojiva) nebo fyzikálních vlastností (termoplastická pojiva). Koněčně při styku vlákno-pojivo může dojít pouze k adsorpčním jevům, případně k difuzi pojiva do vlákna. Základní požadavek pro vytvoření pevné vazby mezi vláknenným materiálem je, aby se vytvořil soulad mezi oběma typy vazebních sil, tj. adhezních působících na rozhraní styčné plochy a kohezních působících v pojivé vrstvě. Pokud jsou spojovány drené plo-

chy a adheze závisí na době styku s adhezivem, je třeba při hližet též k reologickým vlastnostem pojiva a časové závislosti mezi napětími a deformací. Důležité je i geometrické uspořádání vázných míst. Optimální využití adhezních a kohesných sil při tvorbě pojených textilií je jedním z hlavních cílů u všech technologií.

2.2.2 Základní pojmy o adhezi a kohesi

Mají-li k sobě dvě látky přilnout, musí se jejich mezení plochy dotýkat. Lze předpokládat, že ideální styk povrchu tuhé látky s jinou fází by uskutečnila fáze, jejíž molekuly by byly pohyblivé a nasytily by silová pole povrchu tuhé látky. Takovou fází je kapalina, nebo fáze ve více nebo méně tekutém nebo alespoň plastickém stavu. Při styku takové látky s povrchem tuhé látky dochází ke smáčení. Při smáčení tuhé látky mizí silové pole povrchu a dochází ke změně systému. Aby k této změně mohlo dojít, je nutným předpokladem, aby došlo k úbytku volné entalpie G případně k úbytku volné energie F v souladu s rovnicemi /56/

$$\Delta G = \Delta H - T \Delta S$$

$$\Delta F = \Delta U - T \Delta S$$

kde U - vnitřní energie

H - entalpie

T - teplota ($^{\circ}$ K)

S - entropie

Rovnice pro volnou energii (ΔF) platí pro ději při konstantní teplotě ($T = k$) a konstantním objemu ($V = k$). Při smáče-

ní dochází ke změně vnitřní energie systému, protože při styku molekuly tuhé látky s molekulou kapalné fáze, koheze W_k je větší než přitažlivost těchto molekul vůči molekulám tuhé látky, adheze W_a , je změna vnitřní energie ΔU kladná, tj. vnitřní energie vzrůstá a rovněž vzrůstá volná energie ($\Delta F > 0$) a ke smáčení nedochází. Smáčení lze v tomto případě podpořit zvýšením entropického faktoru $T \Delta S$ tj. zvýšením teploty. Je-li naopak přitažlivost molekul kapalné fáze k molekulám tuhé látky vyšší než je jejich vzájemná přitažlivost $W_a > W_k$, pak při nasycování silového pole povrchu tuhé látky se povrch zmenšuje a uvolňuje teplo na úkor vnitřní energie a změna vnitřní energie je záporná a zápornou hodnotu má i změna volné energie ($\Delta F < 0$) a dochází ke smáčení. Z uvedeného vyplývá, že jak entropický tak i energetický faktor lze využít k ovlivňování smáčení tuhé látky. V první fázi pojení, tj. při styku pojiva se substrátem, povrch tuhého tělesa a pojiva vytvářejí mezní plochu, která vzniká jako důsledek vymízení povrchů tuhého tělesa a kapaliny následkem změny povrchové energie systému /55/. Z termodynamického hlediska je vznik mezní vrstvy dán rovnováhou mezi smáčecím temtem U_a a povrchovými energiemi /56/

$$U_a = \sigma s_g + \sigma l_g - \sigma s_l$$

kde σ = povrchová energie

g = index pro plyn

s = index pro tuhou látku

l = index pro kapalinu

s_l = index pro mezifázi tuhé látka-kapalina

Při smáčení dochází ke vzniku fázového rozhraní pevná látka kapalina s_1 na místo předcházejícího počátečního fázového rozhraní pevná látka-plyn s_g . Při prakticky prováděných smáčecích pochodech se současně mění i fázové rozhraní kapalina - plyn l_g , v důsledku změny hodnoty povrchu kapaliny, jedná se o sekundární pochod, neovlivňující vlastní smáčení /57/. Experimentálně použitelná metoda pro hodnocení smáčecích vlastností je založena na vytlačování kapaliny do póry substrátu. Předpokládejme, že póry jsou úzké štěrbiny velmi dlouhé, uložené mezi dvěma stěnami. Pojivo uvažujeme jako newtonskou kapalinu řídící se vztahem

$$\sigma = \frac{dv}{dx} \gamma$$

kde $\frac{dv}{dx}$ = rychlostní gradient

γ = viskozita pro newtonovské kapaliny

σ = napětí

Je pravděpodobné, že výška proniknutí pojiva do póry h bude tím menší, čím silnější bude vlákno a čím vyšší bude mít hustotu. Při vyšší hustotě bude patrně průměr r rovněž menší, takže je obtížné předvídat, zda pouze v důsledku vyšší hustoty bude doba tvorby spoje t delší či kratší. Rozdíl mezi povrchovým napětím nebude patrně pro různá běžně užívaná pojiva příliš velký a rovněž vliv teploty na povrchové napětí v důsledku různých hodnot Van der Waalsových sil a s tím související bod tání pojiva nebude velký. Při dodržení podmínky $0 < \theta_A \leq 90^\circ$ vliv úhlu dotyku bude nepatrný, takže tvorba spoje bude pouze funkci visko-

zity $t = f(\gamma)$, tj. reologických vlastností pojiva. Nutno připomenout, že při malém úhlu dotyku θ_A bude substrát v pojivu botnat a bude se zmenšovat průměr pórů r.

Z uvedeného vyplývá, že čím nižší viskozita, tím kratší bude doba vytvoření spoje /58/. Při použití pojiva ve formě roztoku, musí být poskytnuta potřebná doba, aby k odpaření rozpouštědla došlo dříve, než dojde ke styku dvou ploch, které jsou spojovány. Použije-li se roztoku pojiva, dojde ke značnému snížení viskozity a rovněž dochází ke snížení úhlu dotyku a povrchového napětí. Při použití rozpouštědla není třeba pracovat za vyšších tlaků, neboť rozpouštědla umožní proniknout pojivu do pórů adherentu-substrátu. Zajistí-li se, aby viskozita roztoku pojiva nebyla příliš nízká (tj., aby byla vyšší koncentrace pojiva v roztoku), dojde ke značnějšímu počtu proniknutí pojiva do pórů a k lepší tvorbě spojů. V průmyslové praxi se využívá pojiv ve formě taveniny či neředěné kapaliny (gelu) a v důsledku jejich vysoké viskozity nedojde k dokonalému smáčení pórů substrátu. Při úhlu dotyku $\theta > 60^\circ$ stupeň pronikání pojiva bude především záviset na použitém tlaku /59/, protože vlastní kapilární působení bude malé. Vzdálenost proniknutí pojiva kapilárním působením h_0 je dána vztahem

$$h_0 = \frac{2 \gamma \cos \theta}{\rho g r}$$

kde ρ' = měrná hmotnost

g = gravitační zrychlení

γ = povrchové napětí

r = poloměr kapiláry

Čas potřebný k proniknutí pojiva do vzdálenosti rovnající se poloměru póru substrátu r je dán vztahem

$$t = \frac{4 \eta}{P r} \quad \begin{aligned} \eta &= \text{viskozita} \\ r &= \text{poloměr kapiláry} \\ P &= \text{tlak} \end{aligned}$$

ze kterého vyplývá, že zvýšením tlaku v určitých bezpečných mezích lze zkrátit jednak čas pronikání pojiva do pórů, jednak zvýšit počet dotykových ploch pojených materiálů. Viskoza pojiva, nebo jeho roztoku bude ovlivňovat jednak rychlosť a hloubku pronikání pojiva do pórů, jednak ovlivní velikost skutečné styčné plochy mezi pojivem a substrátem a tím i pevnost konečného spoje.

3 PRACOVNÍ HYPOTÉZA

Záměrem mé dizertační práce je zjistit možnosti a podmínky využití podřadnějších druhů bavlny k výrobě pojených textilií.

Vzhledem k tomu, že z mechanických způsobů výroby netkaných textilií je technologie vpichování pro zpracování bavlny nepoužitelná a technologie proplétání z ekonomického hlediska proti ostatním principům výroby netkaných textilií málo výhodná, je účelné se zaměřit na podmínky pojení tvorbou adhezních nebo kohezních spojů.

Z možností výroby pojených textilií se pro zpracování bavlněné celulózy nabízí možnost botnání bavlny v prostředí alkalických hydroxidů, nebo roztoků některých solí.

Dá se předpokládat, že při určitém stupni zbotnání vláken může dojít působením vhodného tlaku k autohezi a po od-

stranění média k vytvoření kohezní vazby, případně i využití vazby vlivem vzniku vodíkových můstků.

K tomu je nutno :

- nalézt vhodné činidlo (tj. NaOH nebo soli kovů), zjistit jejich potřebnou koncentraci a teplotu nutnou ke zbotnání vláken a jejich uvedení do autohezniho spoje,
- vypracovat metodu ke zništování adheze po zbotnání a propojení bavlněných vláken.

4 EXPERIMENTÁLNÍ ČÁST

4.1 Použitý materiál

K experimentálním účelům byl použit následující materiál :

Příze T = 50 tex x1, 100 % bavlna (SSSR)

A I režná, prstencová

Z = 450/m (ČSN 80 0701)

CV= 22,5 %

vady : slabá místa 184/ 1000 m

silná místa 1280/ 1000 m

nopky 1060/ 1000 m

zjištováno přístrojem Uster-Zellweger

model B (ČSN 80 0706)

pevnost 5,28 N (ČSN 80 0700)

, tažnost 4,7 %

Rouno hmotnost 0,050; 0,100; 0,150 kg.m⁻²

rouno je vyrobeno z vláken podřadnějšího druhu
sýrské bavlny typu ALEP 4

délka vláken 25,4 mm (Fibrograph Degetal = 1.")

jemnost vláken 0,169 tex (Micronaire = 4,3 M)

pevnost 78 - 85 (Pressley strength tester)

obsah vad a nečistot 2,5 % (analyzátor Shirley)

zralost 2,75

uzanční vlhkost 8,5 %

Údaje o fyzikálních vlastnostech vláken byly dodány
společně se vzorkem výzkumným ústavem bavlnářským v Allep,
Sýrie /1/.

Použité chemikálie

K provádění laboratorních zkoušek byly použity tyto
chemikálie :

Název chemikálie	Mol. hmotnost
formaldehyd, CH ₂ O p.a. 36 - 38 %	30,03
hydroxid sodný, NaOH p.a. (pecičky)	40,00
chlorid zinečnatý, ZnCl ₂ bezvodý p.a.	136,28
kyselina chlorovodíková, HCl p.a. 38 %	36,46
kyselina octová, CH ₃ COOH p.a.	60,05
kyselina sírová, H ₂ SO ₄ p.a. 98 %	98,08
síran amonný, (NH ₄) ₂ SO ₄ p.a.	132,15
močovina, CH ₄ N ₂ O p.a.	60,055
thiomočovina CH ₄ N ₂ S p.a.	76,12
uhličitan sodný, Na ₂ CO ₃ p.a.	60,05

Spolmercit S (tenzid na podkladě krezolu)

.2 Použité laboratorní zařízení

laboratorní mykací stroj s drátkovými potahy
pracovní šíře 300 mm

výrobce : fy Josephy, Bialitz

deskový lis typ P 11-E

výrobce : Blanické strojírny, Vlašim

sušárna horkovzdušná - laboratorní typ KC - 65

výrobce : záv. Premed, PLR

sušárna se síťovým pásovým dopravníkem

výrobce : Vývojové dílny VŠST

infrazářič typ ETA 518 02 220 V / 600 W

výrobce : Elektropraga, n.p. Hlinsko v Čechách

trhací přístroj vláknový WPM

výrobce : VEB Thüringer Industriewerk Rauenstein, NDR

trhací přístroj Instron typ TM - M/1970

zařízení pro regulovatelný přítlač na přízi v místě spoje

výrobce : dílna KNT VŠST

mikroskop B 36 Bi,

výrobce : Meopta Přerov

topné hnizdo elektrické IK 3,

výrobce : Kavalier n.p. Votice

termostat U7c

výrobce : VEB MLW Prüfgeräte, Werh Medingen, NDR

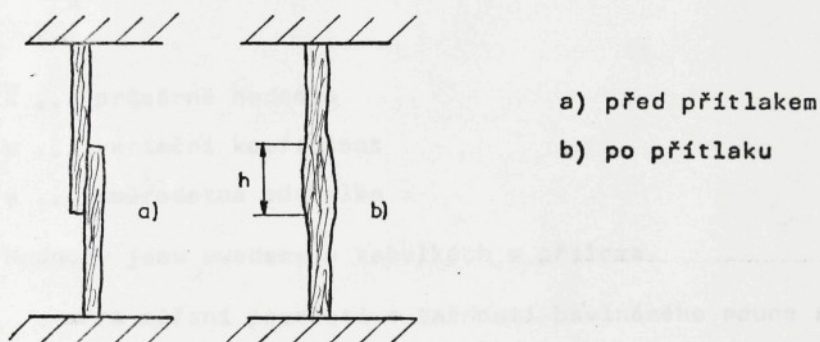
fotomisky novodurové

síto polyamidové mlynářské - velikost ok 1 x 1 mm

mikroskopická skla podložní, zkumavky, pipety

4.3 Zkušební metody

Zjištování autohezního spoje po nabotnání bavlněných vláken bylo provedeno na přízi a rounu. Systém vlákno - vlákno nezaručuje pro tento případ dostatečně přesné a reproducovatelné výsledky z důvodu nepatrné stykové plochy a tím nízké pevnosti spoje mezi vlákny. Pro měření byl zvolen systém příze - příze, který zabezpečuje větší stykovou plochu a tím i větší autohezní sily. Schema systému příze - příze si můžeme představit takto :



Obr. 10 Schema systému příze - příze

Dle obrázku vidíme, že příze je spojena pojivem po délce h a vzdálenost mezi přízemi je vlastně nulová. Při nabotnání a zalisování tlakem dochází k průniku vláken z jedné příze do druhé a případně vzniklá gelovitá část je prostoupena v přízi.

K vyjádření síly adhezního spoje byla zvolena zkouška pevnosti v tahu. Propojené příze (autohezním způsobem) byly upevněny do držáčků vláknové trhačky tak, aby spoj byl uprostřed upínací délky, která byla zvolena maximální tj. 50 mm.

Příze byly namáhány do přetahu spoje. Pevnost spoje byla ve všech případech daleko nižší než je pevnost příze. Hodnota pevnosti byla spočítána z průměru hodnot 10 měření.

Dále byly počítány

$$\bar{x} = \frac{\sum_{i=1}^n x_i}{n}$$

$$s = \sqrt{\frac{1}{n-1} \cdot \sum_{i=1}^n (x_i - \bar{x})^2}$$

$$v = \frac{s}{\bar{x}} \cdot 100 \quad [\%]$$

\bar{x} ... průměrná hodnota

v ... variační koeficient

s ... směrodatná odchylka

Hodnoty jsou uvedeny v tabulkách v příloze.

Pro měření pevnosti a tažnosti bavlněného rouna a bavlněného rouna po autohezním propojení byl použit trhací přístroj Instron typ TM - M/1970. Měření bylo provedeno podle ČSN ST SEV 2675-80. Rozměr vzorků 50 x 300 mm, upínací délka 200 mm. Rychlosť posuvu příčníku 200 mm/min. rychlosť posuvu papíru 200 mm/min.

Zkouška elastického zotavení byla provedena tak, že bylo připraveno 5 vzorků ve směru podélném o rozměrech 50 x 300 mm. Pracovní vzorek byl upnut do čelistí trhacího přístroje INSTRON. Upínací délka 100 mm. Přístroj byl uveden do provozu a vzorek byl protahován konstantní rychlostí 200 mm/min. až do dosažení 60 % pevnosti vzorku, poté byl obrácen směr pohybu příčníku a zkoušený vzorek byl odlehčo-

ván až do dosažení hranice zatížení O N. Tímto je vzorku umožněno zotavovat při stejné rychlosti jakou byl protahován. Tento postup byl u každého vzorku opakován 10 x za sebou, přičemž první a poslední cyklus zatížení a odlehčení byl zaznamenán na registračním zařízení.

4.4 Příprava roztoků botnadel

Byly vytypovány dva druhy botnadel

- 1) roztoky alkalických hydroxidů o koncentraci, kdy dochází k vhodnému stupni nabotnání
- 2) roztoky solí dvojmocných prvků.

Pro roztoky alkalických hydroxidů je v tab. 3 podán přehled koncentrací potřebných k dosažení maxima botnání při teplotě 20°C.

Tabulka 3 Přehled koncentrací

Druh hydroxidu	Koncentrace v %	Přírůstek tloušťky nabotnáleho vlákna oproti původnímu v %
LiOH	9,5	97
NaOH	16 - 18	78
KOH	32,0	64

Z hlediska potřebné koncentrace hydroxidu a tomu odpovídajícímu stupni nabotnání by bylo výhodné používat LiOH. Vzhledem k jeho menší dostupnosti a vyšší ceně byl vybrán NaOH, který se účinkem nejvíce přibližuje LiOH a cenově je dostupný.

Roztoky byly připraveny takto :

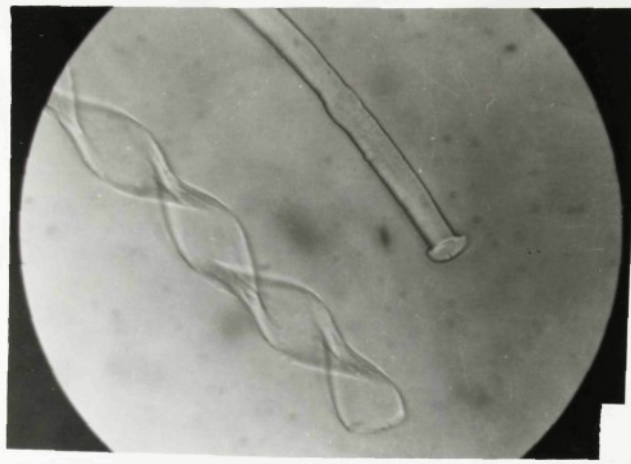
Navážka NaOH dle tab. 4 byla rozpuštěna v 80 ml destilované vody a po ochlazení studenou vodou na teplotu 20°C byl roztok převeden do 100 ml odměrné baňky, která byla doplněna po značku destilovanou vodou.

Tabulka 4 Navážka a koncentrace NaOH

kg/100 ml	%	molarita
0,014	14,0	3,5
0,016	16,0	4,0
0,018	18,0	4,5
0,020	20,0	5,0
0,022	22,0	5,5
0,024	24,0	6,0

Roztoky NaOH po přidavku 0,5 % tenzidu byly použity k botnání přize a ke srovnávacímu stanovení pevnosti spoje po jejím nabotnání.

Dále byly připraveny roztoky NaOH o stejné koncentraci jako je uvedena v tab. 4 s tím, že ke každé koncentraci bylo přidáno zesilovadlo botnání (močovina). K roztokům NaOH s močovinou bylo přidáno 0,5 % tenzidu (Spolmercit S), který je stálý v silně koncentrovaném roztoku NaOH, způsobuje zlepšení smáčivosti vláken a tím umožňuje rychlé proniknutí roztoku botnadla do zkoušené přize nebo rouva. Informativně bylo sledováno botnání ba vláken. Na obr. 11 vidíme, že vlivem vnitřních sil vlákno nabývá spirálovitého tvaru.



Obr. 11 Botnání bavlněného vlákna v roztoku NaOH

Roztok $ZnCl_2$ byl připraven v koncentracích dle tab. 5.

Tabulka 5 Navážka a koncentrace $ZnCl_2$

kg/100 ml	%	molarita
0,010	10,0	0,74
0,020	20,0	1,47
0,030	30,0	2,20
0,040	40,0	2,93
0,050	50,0	3,67
0,060	60,0	4,40
0,070	70,0	5,14

K roztokům byl přidán tenzid jako v případě NaOH (0,5%). Navážky pro objem 100 ml byly voleny z důvodu nižší spotřeby NaOH a $ZnCl_2$. Menší objem roztoku zabezpečoval, že nebude

dlouho uskladňován, a tím nepoklesne jeho aktivní schopnost botnání celulózových vláken.

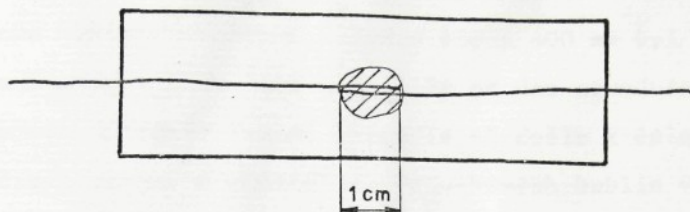
4.5 Pracovní postup

Úprava základního materiálu alkalickou vývářkou

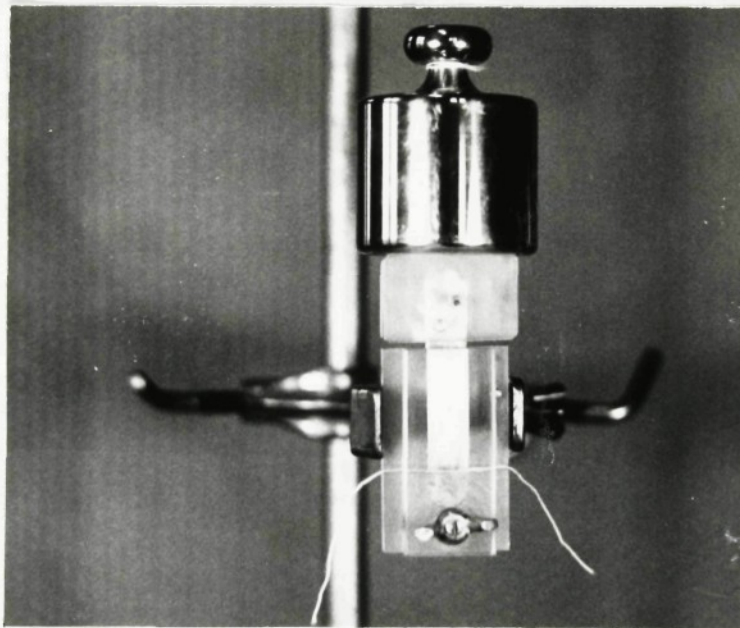
Bavlněná příze (50 tex) byla předem upravena v lázni pro vývářku obsahující jako základní složku NaOH (17 g/l) a 0,1 % neionogenního tenzidu. Vývářka byla prováděna po dobu 6 hodin v zabroušené baňce o obsahu 500 cm³ na které byl nasazen zpětný chladič, aby odpařovaná voda mohla stékat zpět do baňky a nedocházelo k zahušťování lázně. Po vývářce byla příze propírána teplou vodou po dobu 10 minut, kdy nevykazovala alkalickou reakci na pH papírek. Během celého procesu vývářky byla příze u dna baňky navinutá na skleněnou tyčinku, aby nedocházelo k vyplavání na povrch a tím k možné oxidaci vzdušným kyslíkem na oxicelulózu. Sušení bylo provedeno při laboratorní teplotě. Účelem vývářky bylo zmýdelnit voskové látky, odstranit popeloviny, rozložit pektinové a bílkovinné látky v rozpustné produkty a vhodně dispergovat degradované příměsi.

Upravená příze byla nastříhána na kousky o délce 8 cm. Dva kusy byly dány na podložní mikroskopické sklo, aby se jejich konce v podélném směru 1 cm překrývaly. Uložení přízí je znázorněno na obrázku 12.

Po urovnání konců přízí vedle sebe byl přidán mikropipetou roztok botnadla a po stanovené časové expozici jeho působení byla příze opláchnuta vodou do neutrální reakce a vložena do zařízení pro regulovatelný přitlak obr.13.



Obr. 12 Uložení přízí na podložním mikroskopickém skle



Obr. 13 Zařízení pro regulovatelný přitlak

Zde byla ponechána stanovenou dobu pod tlakem, potom byla vysušena v laboratorní sušárně při teplotě 90°C . Tím byl připraven vzorek k ověřování spoje mezi přízemí pomocí vláknové trhačky.

Příprava bavlněného rouna pojedeného botnáním byla provedena takto : vzorek o rozměru 650 x 400 mm byl vnesen mezi dvě polyamidová síta a umístěn na dno novodurové misky. Dále byl přiléván roztok botnadla až došlo k úplnému převrstvení rouna. K odstranění vzduchových bublin v rounu byl použit váleček pro odmačkávání fotografií. Po vyjmutí sít s rounem z misky bylo botnadlo odždímáno mezi dvěma válci ruční ždimačky a v další novodurové misce bylo propíráno tekoucí vodou do neutrální reakce. Po odždímání přebytku vody v lise bylo sušeno v sušárně se síťovým pásovým dopravníkem při teplotě 110°C . Ze suchého rouna byly nastříhaný vzorky o rozměrech 50 x 300 mm k provedení fyzikálních zkoušek.

4.6 Výsledky měření a jejich zhodnocení

V technologické části práce byly zhotoveny vzorky za různých podmínek, ve snaze najít optimální podmínky pojení textilií botnáním. Byly zkoušeny různé koncentrace dvou botnadel, a to hydroxidu sodného a chloridu zinečnatého za přídavků tenzidu a močoviny. Účelem přídavku tenzidu bylo dosáhnout lepší penetrace botnadla mezi vlákna zlepšením smáčivosti. Přídavkem močoviny se mělo dosáhnout lepšího, intenzivnějšího a rychlejšího botnání vláken a tak i snadnějšího kontaktu mezi nimi k dosahování spojů. Vzorky spojené bavlněné příze a rouna za nejrůznějších technologických podmínek byly podrobeny zkouškám podle platných norm i měřením, které měly přinést alespoň empirické zákonitosti tak složité problematiky, jakou je pojení vláken a vláken-

ných soustav bavlny botnáním.

Ze vzorků připravených za různých technologických podmínek byla provedena tato měření :

- 1) měření pevnosti spojů v závislosti na koncentraci hydroxidu sodného (NaOH) pro přídayky močoviny do hydroxidu sodného odstupňované po 0,5 % v intervalu 0 až 2 %,
- 2) měření pevnosti spojů bavlněné příze v závislosti na koncentraci chloridu zinečnatého pro různé teploty, mezi pokojovou a 90°C , realizovanou působením infračerveného záření,
- 3) měření pevnosti v závislosti na přitlačné síle zbotnalého vlákenného materiálu pro koncentrace hydroxidu sodného jako botnadla v optimálním intervalu 18 až 22 %,
- 4) měření pevnosti v závislosti na době působení hydroxidu sodného působícího za pokojové teploty při přitlačné síle 10,2 N,
- 5) měření pevnosti spojů pojené bavlněné příze v závislosti na teplotě pro různé koncentrace hydroxidu sodného za pří davku optimální koncentrace močoviny.

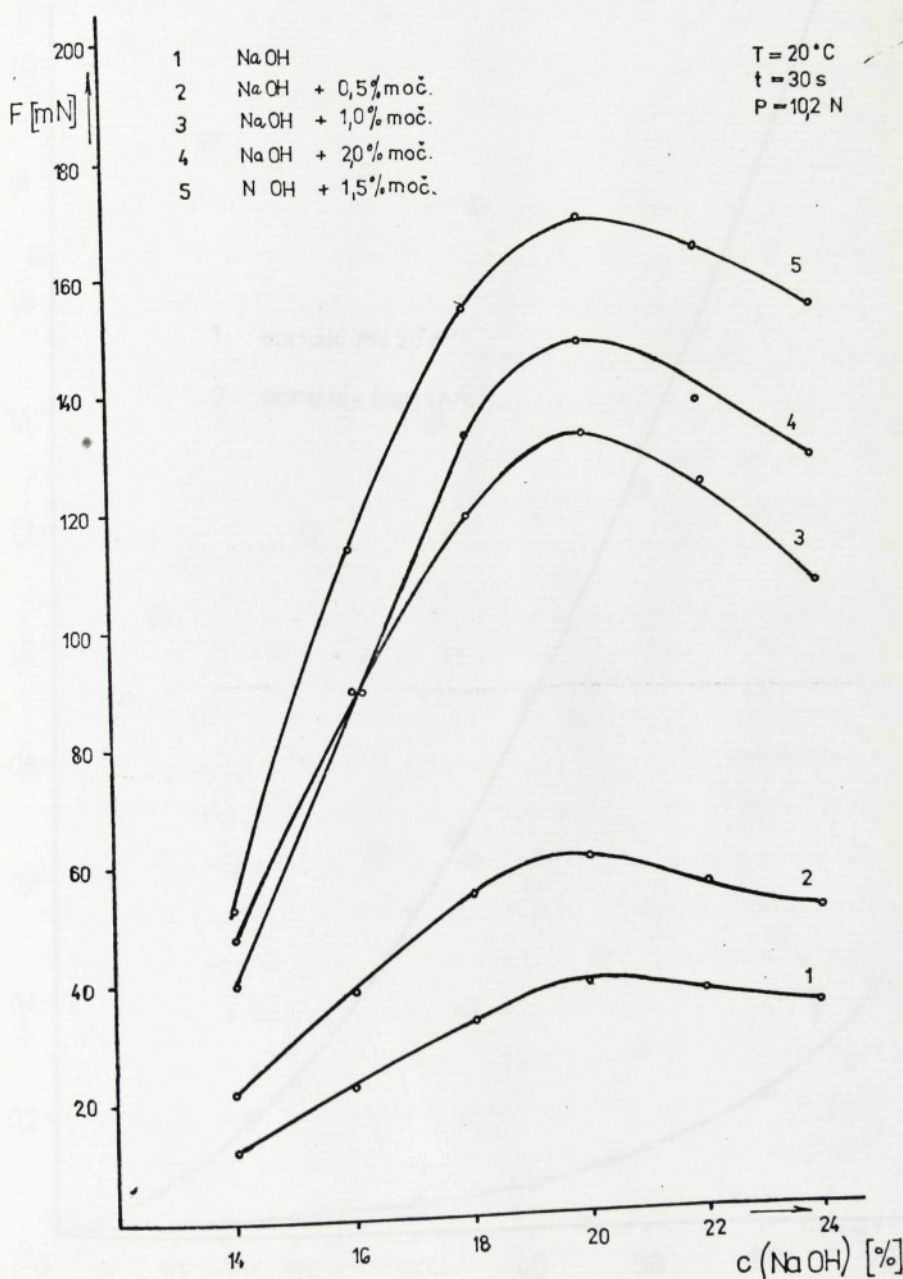
Kromě výše uvedených měření, které měly ověřit optimální podmínky spojů bavlněných vláken v závislosti na různých podmírkách, byla prováděna měření (zkoušky) mechanických vlastností botnání pojených textilií, a to lineárních bavlněných přízí a pojené textilie z bavlněného rouna. Mechanické vlastnosti byly kvantifikovány měřením pracovního diagramu, popisujícího komplexní mechanické chování pojené textilie, měření pevnosti a tažnosti botnáním pojených soustav vláken bavlny.

4.6.1 Měření pevnosti spojů v závislosti na koncentraci NaOH

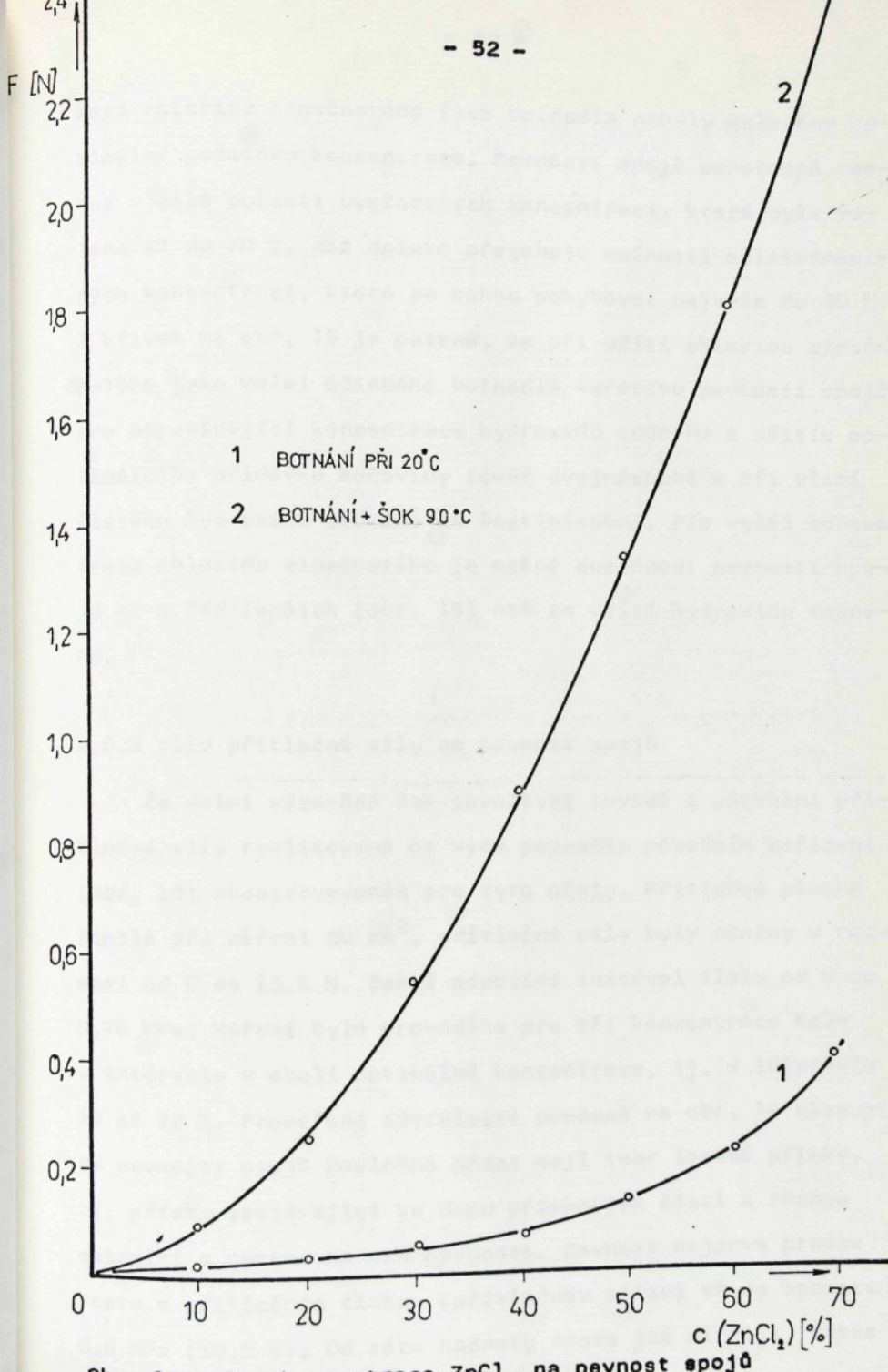
Měření pevnosti spojů vytvořených na přiložené bavlněné přízi v závislosti na koncentraci hydroxidu sodného pro koncentrace 12 až 24 % byla provedena za přídavků močoviny v rozsahu 0 až 2 %. Měla za účel zjistit optimální podmínky pro koncentraci NaOH a přídavku močoviny. Provedená měření ukázala, že pro hydroxid sodný a přídavek močoviny skutečně existuje optimální koncentrace hydroxidu sodného, která je 20 % a 1,5 % pro přídavek močoviny. Maximálních pevností bylo dosaženo vždy pro stejně koncentrace močoviny. Výsledky měření jsou uvedeny na obr. 14. Z něho je patrné, že křivky pro nízké koncentrace močoviny se asymptoticky přiblížují přímkám rovnoběžným s osou koncentrace NaOH. Při vyšší koncentrace není však již asymptotické přiblížování v uvedeném rozsahu koncentrací NaOH tak zřejmé a lze je jen předpokládat.

4.6.2 Měření pevnosti spojů v závislosti na koncentraci $ZnCl_2$

Kromě hydroxidu sodného, kterého se běžně užívá při zpracování bavlny, byl zkoušen vliv koncentrace chloridu zinečnatého ($ZnCl_2$) na pevnost spojů bavlněné příze. Měření pevnosti spojů bavlněné příze botnaté v chloridu zinečnatém bylo provedeno v závislosti na koncentraci chloridu zinečnatého pro teploty tohoto botnadla mezi pokojovou teplotou a teplotou $90^{\circ}C$ dosažené krátkodobým ohřevem infračervenou lampou. Z měření uvedeném na obr. 15 je zřejmé, že při spli-



Obr. 14 Vliv koncentrace na pevnost spojů



Obr. 15 Vliv koncentrace $ZnCl_2$ na pevnost spojů

kaci chloridu zinečnatého jako botnadla nebyly nalezeny optimální podmínky koncentrace. Pevnosti spojů monotonně rostou v celé oblasti uvažovaných koncentrací, která byla volena až do 70 %, což daleko přesahuje možnosti aplikovatelných koncentrací, které se mohou pohybovat nejvýše do 30 %. Z křivek na obr. 15 je patrné, že při užití chloridu zinečnatého, jako velmi účinného botnadla, vzrostou pevnosti spojů pro odpovídající koncentrace hydroxidu sodného s užitím optimálního přídavku močoviny téměř dvojnásobně a při užití čistého hydroxidu sodného až šestinásobně. Při vyšší koncentrace chloridu zinečnatého je možné dosáhnout pevnosti spojů až o řadu lepších (obr. 15), než za užití hydroxidu sodného.

4.6.3 Vliv přítlačné síly na pevnost spojů

Za velmi význačné lze považovat rovněž i působení přítlačné síly realizované na výše popsaném původním zařízení (obr. 13), zkonstruovaném pro tyto účely. Přítlačná plocha činila při měření 20 mm^2 , přítlačné síly byly měněny v rozmezí od 0 do 15,6 N, čemuž odpovídá interval tlaku od 0 do 0,76 MPa. Měření bylo prováděno pro tři koncentrace NaOH v intervalu v okolí optimální koncentrace, tj. v intervalu 18 až 22 %. Proměřené závislosti uvedené na obr. 16 ukazují, že pevnosti spojů bavlněné příze mají tvar lomené přímky, tj. přímky sestávající ze dvou přímkových částí s různou směrnicí a úsekem na ose pevnosti. Pevnost nejprve prudce roste s přítlačným tlakem (přítlačnou silou) až do hodnoty 0,5 MPa (10,2 N). Od této hodnoty roste již mírněji, takže

šmernice této části přímky je mnohem menší než předchozí.

4.6.4 Vliv doby působení botnadla na pevnost spojů

Pro technologii přípravy vzorků, zvláště pak pro technologii eventuální výroby botnáním pojených bavlněných vlákných soustav je důležitý vliv doby botnání na pevnost spojů. Měření bylo prováděno opět na vzorcích botnáním pojené bavlněné příze. Interval botnacích koncentrací byl volen v rozsahu optimálních koncentrací tj. v oblasti 18 až 22 %. Pevnost spojů z počátku roste stejně pro všechny měřené koncentrace. Od 15 s se začaly již všechny tři křivky oddělovat. Křivka pro koncentraci botnadla 18 % nabývá nejnižšího maxima, křivka pro 20 % koncentrací dále monotonně roste, i když mnohem pozvolněji a křivka pro koncentraci 22 % nabývá podobně jako křivka pro 18 % maxima pro 30 sekund a klesá ke křivce 18 %. Jeví se tedy působení 30 s při koncentraci botnadla 20 % jako optimální. Závislost pevnosti na době působení botnadla je uvedena na obr. 17.

4.6.5 Měření závislosti pevnosti spojů na teplotě botnadla

Kromě výše uvedených měření byl měřen i vliv teploty botnadla na pevnost spojů pojené bavlněné příze. Rozsahy teplot byly voleny od 0 do 25°C. Koncentrace užitého botnadla se měnila od 14 % do 22 % NaOH s optimálním 1,5 % přídavkem močoviny. Výsledky měření závislosti pevnosti spojů na teplotě botnadla jsou na obr. 18. Z něho je vidět klesající charakter závislosti. Pevnost tedy s rostoucí teplotou pro koncentraci botnadla mimo oblast optimální koncentrace prud-

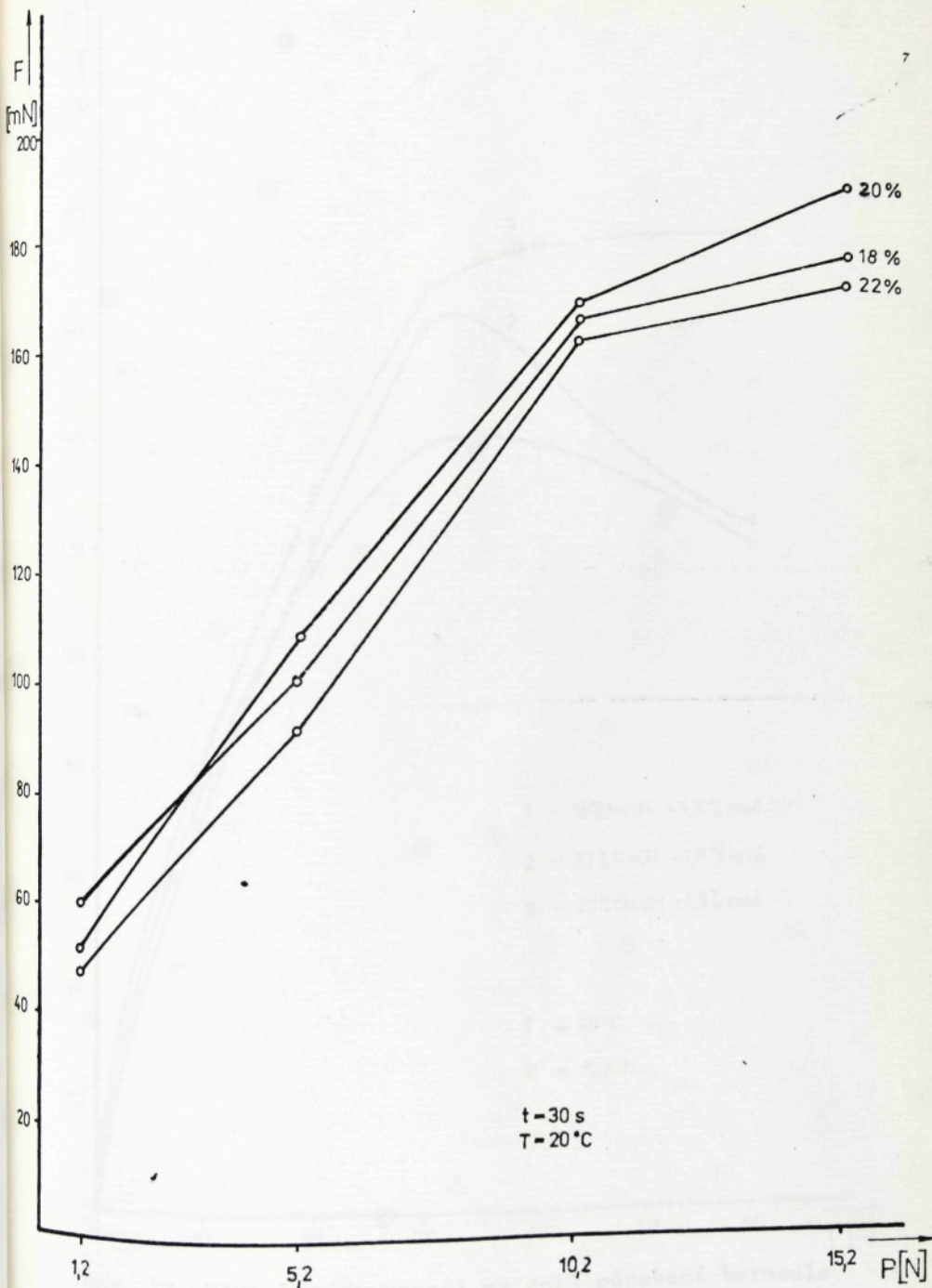
ce klesá. V okolí optimální koncentrace, tj. pro koncentraci v rozmezí 18 až 22 % klesá již pevnost s teplotou pozvolněji. V rozsahu měřených teplot poklesla pevnost s rostoucí teplotou mimo oblast optimální koncentrace až čtyřnásobně, v oblasti optimálních koncentrací jen 1,5 krát (obr. 18).

4.6.6 Měření mechanických vlastností botnáním pojedných textilií

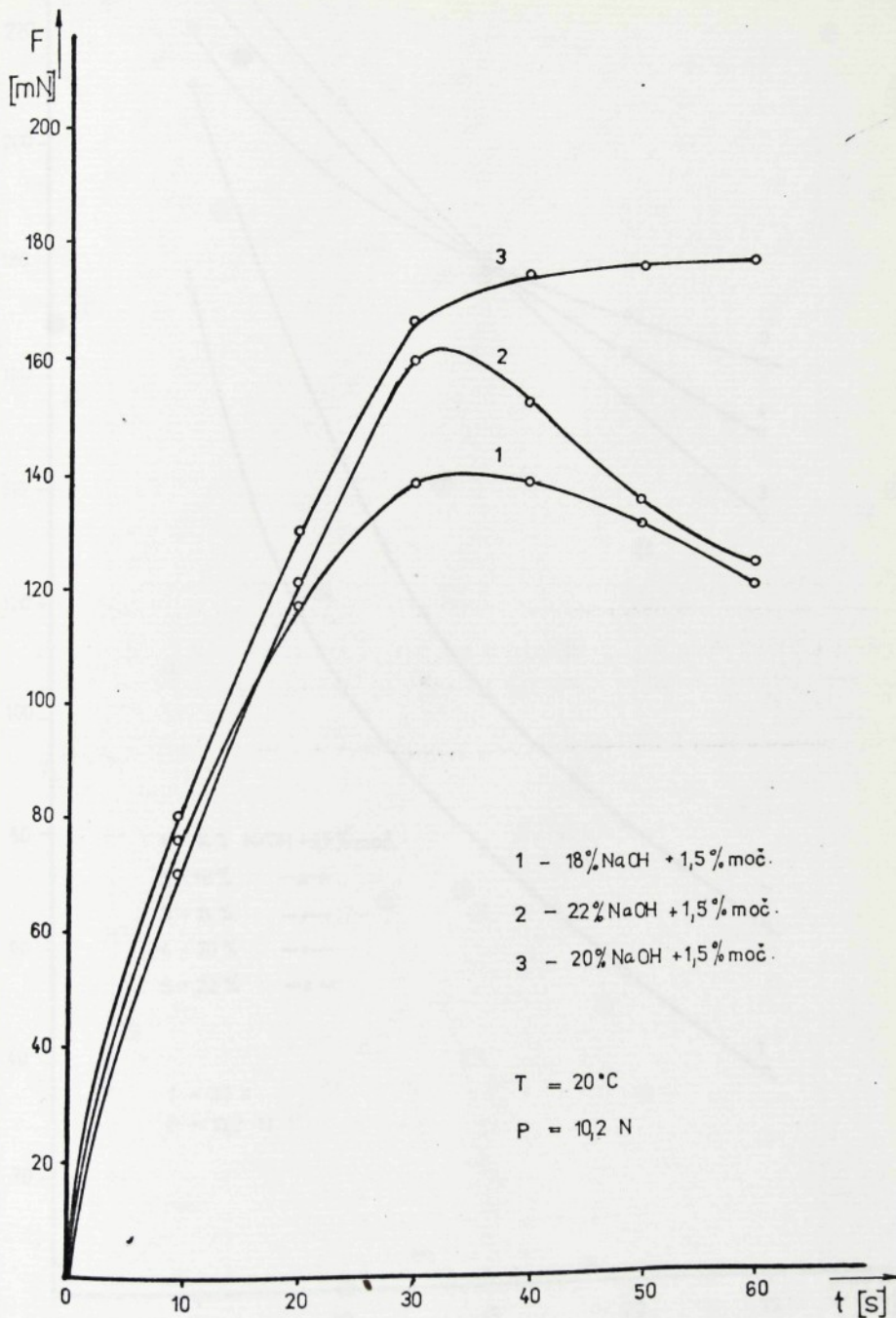
Mechanické vlastnosti reprezentované pracovním diagramem byly měřeny jak pro spoje na přízích, tak i na nabotnáném pojeném bavlněném rounu. Zkoušky (měření) byly prováděny na vláknovém trhacím přístroji a na trhacím přístroji pro plošné textilie.

Měření pevnosti spojů vzniklých botnáním na bavlněné přízi

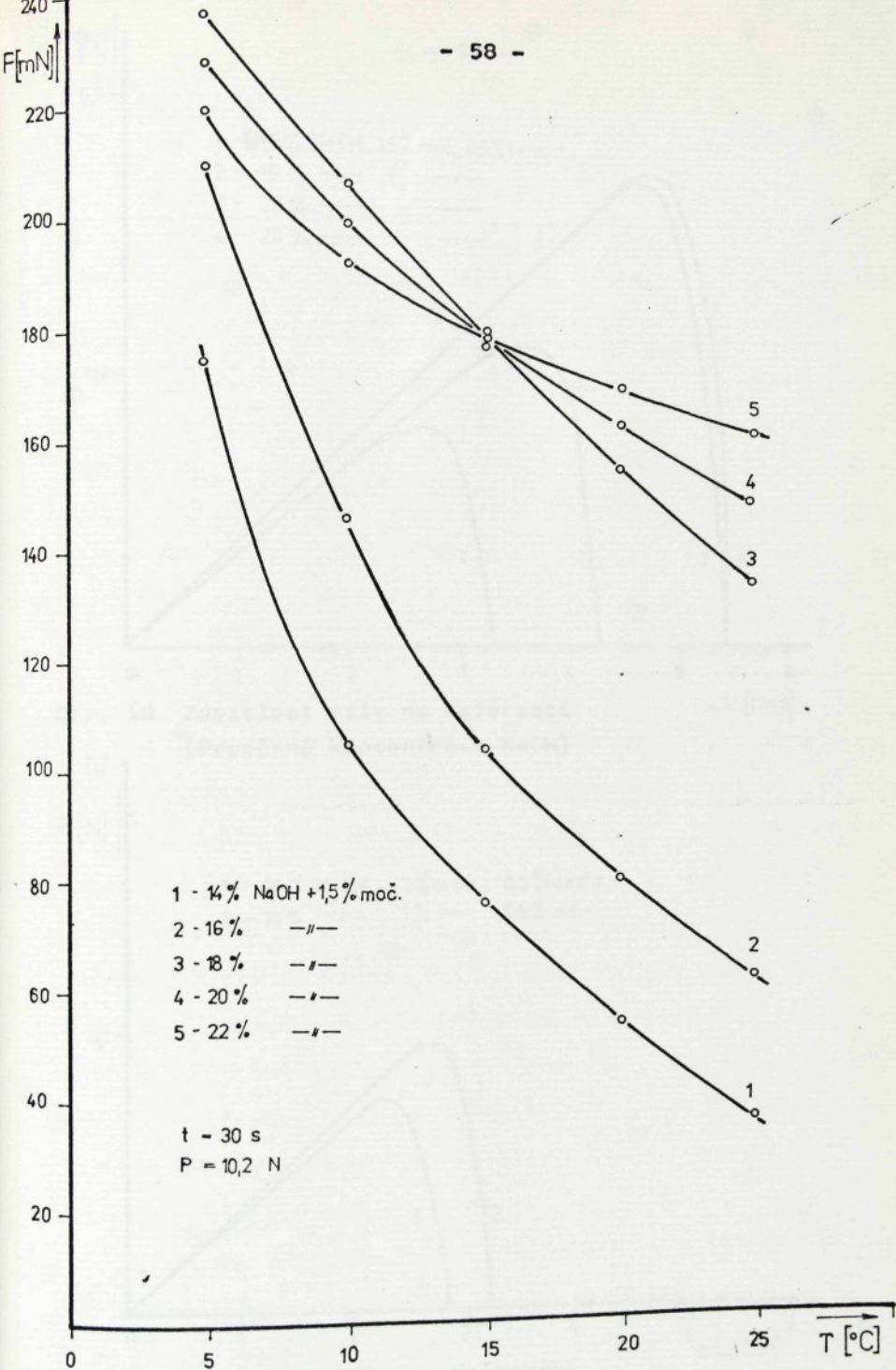
Měření pracovních diagramů, tj. závislosti síly namáhání F na deformaci ΔL , $F = F(\Delta L)$ byla prováděna vzorky připravené o různých koncentracích botnadla pro hydroxidové botnadla s příměsí močoviny. Výsledky měření jsou uvedeny pro koncentrace hydroxidu sodného 16 %, 18 %, 20 % a 22 % na obr. 19 a 20. Z nich je patrné, že zatímco elastické moduly se s podmínkami koncentrace při botnání mění jen velmi málo, jsou pevnost a tažnost pojedné textilie (spojů) mnohem citlivější na podmínky botnání vyjádřené změnou koncentrace botnadla. Číselné hodnoty modulů, pevnosti, tažnosti a trhací práce pro různé koncentrace botnadla jsou uvedeny v tab. 6.



Obr. 16 Vliv přitlačné síly na pevnost spojů



Obr. 17 Závislost pevnosti na době působení botnádla
(NaOH+1,5 % moč)



Obr. 18 Vliv teploty botnadla na pevnost spojů

0,2

0,1

0,1

0

1

2

3

4

5

6

 ΔL [mm]

- 1 - 16 % NaOH, 1,5% moč, 0,5% tenzid
 2 - 18 % - " -
 3 - 20 % - " -
 4 - 22 % - " -

Obr. 19 Závislost síly na deformaci

(Proměnná koncentrace NaOH)

0,2

F[N]

- 1 - 16 % NaOH, 2% moč, 0,5% tenzid
 2 - 16 % - " - , 1% - " - 0,5% - " -

0,1

1 2

0

1

2

3

4

5

6

 ΔL [mm]

Obr. 20 Závislost síly na deformaci

(Proměnná koncentrace močoviny)

Tabulka 6 Moduly, pevnosti, tažnosti a trhací práce bavlněné příze zpevněném botnáním

Koncentrace NaOH/močovina (%)	modul (N/m)	pevnost (mN)	tažnost (mm)	trhací práce (10^{-5} J)
16/1,5	31	80	3,1	$16,8 \pm 0,2$
18/1,5	30	116	4,1	$27,8 \pm 0,7$
20/1,5	36	178	5,1	$55,6 \pm 0,4$
22/1,5	36	174	5,5	$54,2 \pm 1$
16/1	36	100	3,1	18 ± 1
16/2	36	80	2,8	$11,6 \pm 0,6$

Na dynamometru pro zkoušení plošných textilií byly pak zkoušeny mechanické vlastnosti jak výchozích nepojených vlákenných vrstev bavlny plošných hmotnosti $50 \text{ g}/\text{m}^2$, $100 \text{ g}/\text{m}^2$ a $150 \text{ g}/\text{m}^2$ tak i vrstev pojených, a to plošné hmotnosti $100 \text{ g}/\text{m}^2$. Z pracovních křivek, které jsou uvedeny na obr. 21, 22 a 23 byly určeny opět moduly, pevnosti, tažnosti a trhací práce, a to u pojených při užití 20 % hydroxidu sodného jako botnadla spolu s tenzidem, který zajistil dobré smáčení a botnadlo složené z hydroxidu sodného (20 %) a močoviny (1,5 %). Pracovní diagramy pojených vlákenných vrstev bavlny jsou uvedeny na obr. 24 a 25. Výsledky jsou uvedeny v tab. 7.

Pracovní diagramy byly proměřeny i po cyklickém namáhání botnáním pojených roun bavlny, a to po jednom cyklu a po deseti cyklech. Výsledky jsou uvedeny na grafech obr. 26. Práce vykonané při uzavření jednoho a deseti cyklů pro

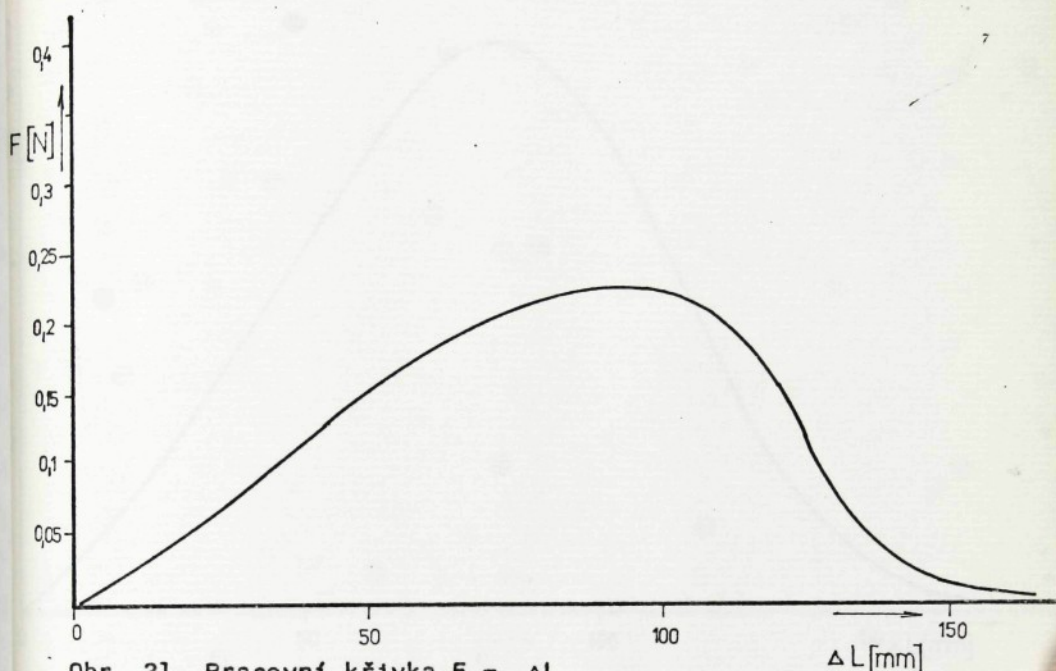
Tabulka 7 Moduly pevnosti, tažnosti a trhací práce nepojených a pojenečných vlákenných vrstev bavlny

Vlákenná vrstva	modul (N/m)	pevnost (N)	tažnost (mm)	trhací práce (10^{-2} J)
nepojená				
$0,050 \text{ kg.m}^{-2}$	3,09	0,21	170	1,83
$0,100 \text{ kg.m}^{-2}$	5,25	0,37	200	3,44
$0,150 \text{ kg.m}^{-2}$	10,15	0,78	180	16,6
pojená				
20% NaOH+0,5% tenzid	30	0,96	120	15,76
20% NaOH+1,5% močovina+0,5% tenzid	38	1,68	115	10,8

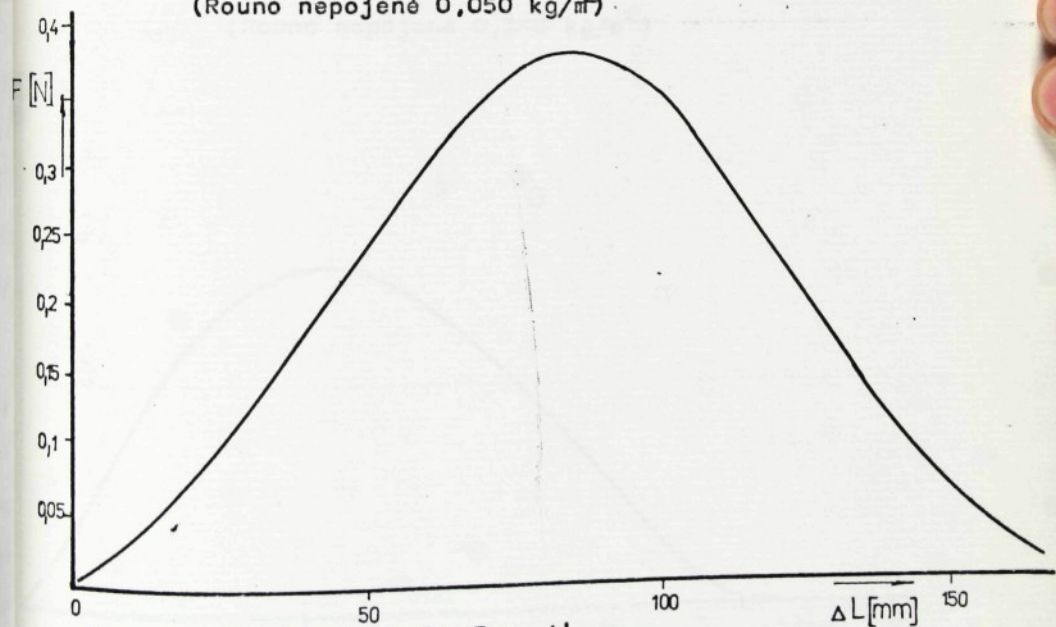
vzorek botnaný v 20 % NaOH činila $7,6 \cdot 10^{-3}$ a $2,8 \cdot 10^{-3}$ J a pro vzorky pojenečné 20 % NaOH s 1,5 % močoviny 5,4 a $1,76 \cdot 10^{-3}$ J.

4.7 Zhodnocení výsledků měření

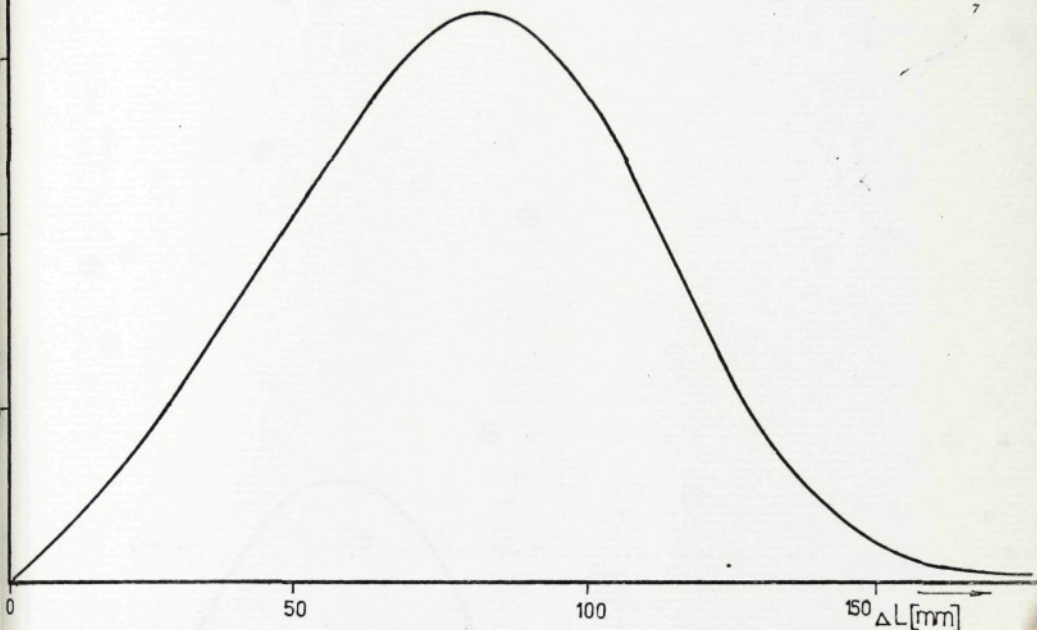
Výsledky měření na vzorcích pojenečných příze uvedené na obr. 14 a 18 ukázaly, že zpevnění vlákenných soustav bavlny botnáním v hydroxidu sodném je složitý proces, který závisí jak na vnějších, tak na vnitřních parametrech soustavy. Mezi vnější vlivy počítáme koncentraci hydroxidu sodného, jehož optimální koncentrace pro pevnost spojů se pohybuje mezi 18 až 22 %. Přidání močoviny kolem 1,5 % je optimální. Závislost pevnosti spojů, F, na koncentraci NaOH tvoří soustavu



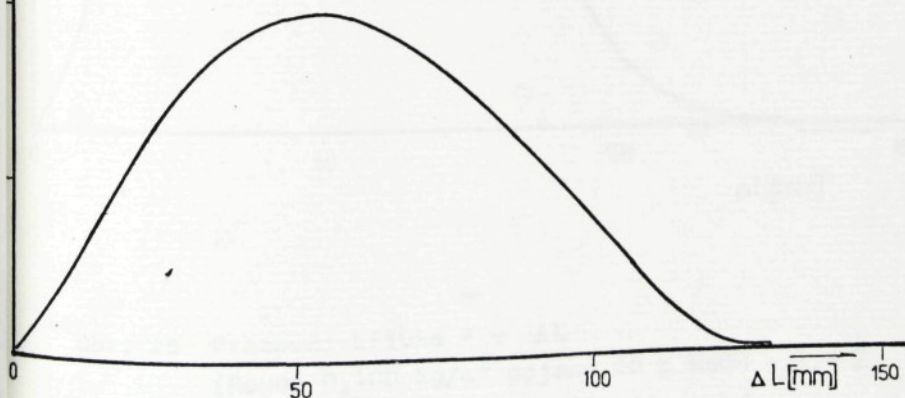
Obr. 21 Pracovní křivka $F - \Delta L$
(Rouno nepojené $0,050 \text{ kg/m}^2$)



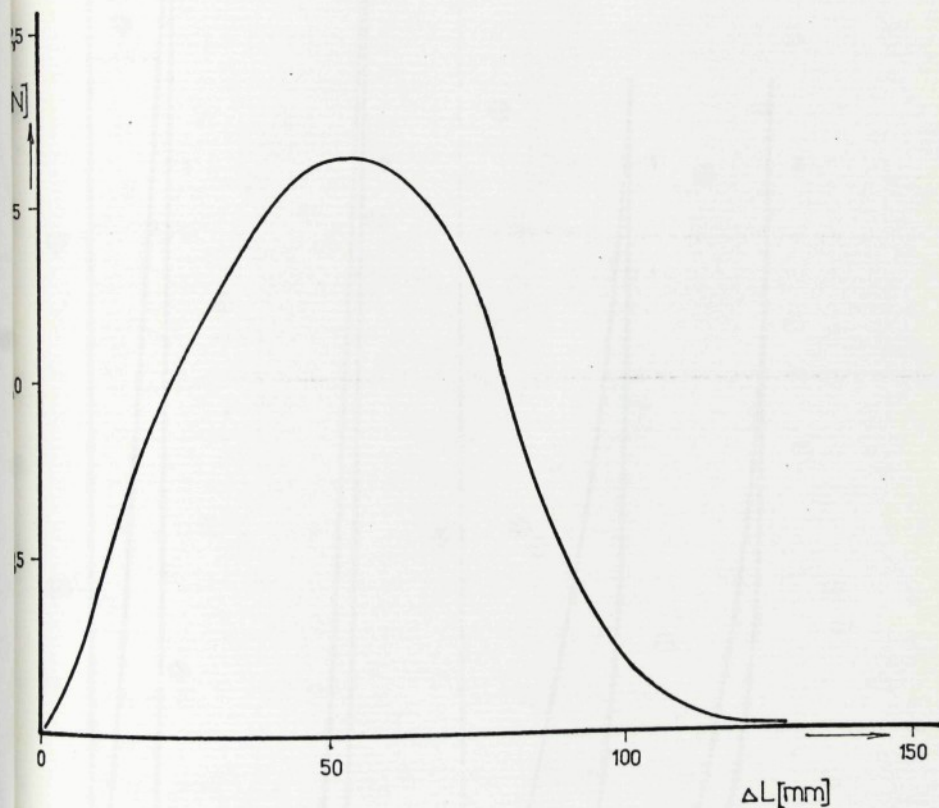
Obr. 22 Pracovní křivka $F - \Delta L$
(Rouno nepojené $0,100 \text{ kg/m}^2$)



Obr. 23 Pracovní křivka $F - \Delta L$
(Rouno nepojené $0,150 \text{ kg/m}^2$)

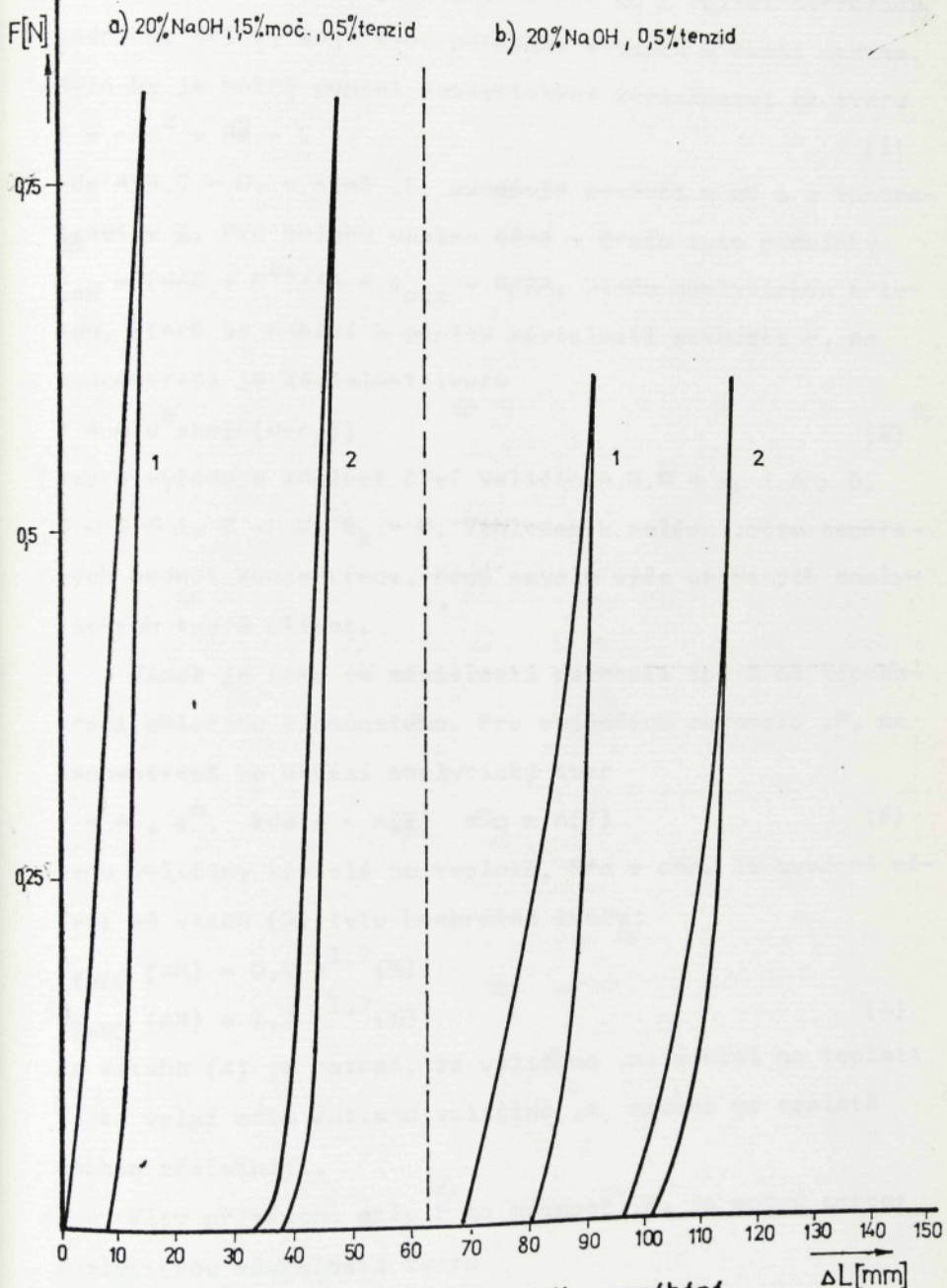


Obr. 24 Pracovní křivka $F - \Delta L$
(Rouno $0,100 \text{ kg/m}^2$ pojné $20\% \text{ NaOH} + 0,5\% \text{ tenzid}$)



Obr. 25 Pracovní křivka $F - \Delta L$
(Rouno $0,100 \text{ kg/m}^2$ pojené $20\% \text{ NaOH} + 1,5\%$
močoviny a $0,5\%$ tenzidu)

BAVLNĚNÉ ROUNO-0,100 kg/m² 1- PO 1.CYKLU
2- PO 10 CYKLECH



Obr. 26 Pracovní diagram cyklického namáhání

vu křivek s nemotonním průběhem, které mají pro různý ob-
sah močoviny vždy stejné maximum pro 20 % roztok hydroxidu
sodného. Křivky mají tvar paraboly alespoň v okolí maxima.

Bylo by je možné popsat analytickými závislostmi ve tvaru

$$F = -Ac^2 + Bc + C \quad (1)$$

kde $A, B, C > 0$, v němž F , označuje pevnost v mN a c koncen-
traci v %. Pro polohu maxima máme v grafu tyto podmínky
 $F_{\max} = (4AC + B^2)/4A$ a $c_{\max} = B/2A$. Jinou analytickou křiv-
kou, která se nabízí k popisu závislosti pevnosti F , na
koncentraci je závislost tvaru

$$F = A c^B \exp(C(c - c_k)) \quad (2)$$

která vyžaduje znalost čtyř veličin A, B, C a $c_k : A > 0$,
 $0 < B < 1$, $C < 0$, $c_k > 0$. Vzhledem k malému počtu naměre-
ných hodnot koncentrace, nemá smyslu výše uvedených analy-
tických tvarů užívat.

Jinak je tomu se závislostí pevnosti spojů na koncen-
traci chloridu zinečnatého. Pro vyjádření pevnosti F , na
koncentraci se nabízí analytický tvar

$$F = A \cdot c^n, \text{ kde } A = A(T) \text{ a } n = n(T) \quad (3)$$

jsou veličiny závislé na teplotě. Pro v obr. 15 uvedená mě-
ření má vztah (3) tyto konkrétní tvary:

$$F_{T=20} \text{ (mN)} = 0,2 c^{1,7} (\%)$$

$$F_{T=90} \text{ (mN)} = 1,7 c^{1,7} (\%) \quad (4)$$

Ze vztahů (4) je patrné, že veličina n , závisí na teplotě
 T jen velmi málo zatímco veličina A , závisí na teplotě
mnohem zřetelněji.

Vliv přitlačné síly P na pevnost F , je možné popsat
analytickou závislosti tvaru

$$F + F_o = A \operatorname{arcsh} (BP) \quad (5)$$

v němž F_o , A a B jsou veličiny, které je třeba určit z měření. Veličina F_o se snadno odčte z grafu na obr. 16 a číni 35 mN. Výhodnější a fyzikálně lépe interpretovatelné je popsat průběh závislosti $F = F(P)$ lomenou přímkou. Obě části pak popišeme vztahem tvaru

$$F + F_o = AP, \quad F + F_1 = A'P \quad (6)$$

což po odečtení z grafu na obr. 16 dává:

$$F (\text{mN}) = 13,3 P(\text{N}) - 35, \quad F(\text{mN}) = 2,85 P(\text{N}) - 138 \quad (7)$$

První vztah platí pro přítlačnou sílu do 10 N a druhý vztah pro přítlačnou sílu nad 10 N. Z průběhu je patrné, že přítlačná síla má z počátku velký vliv na pevnost spojů, a to do 10 N, pak její vliv ubývá a dochází k nasycení, a to v případě, kdy již všechna vazebná místa jsou vyčerpána.

Rovněž i vliv doby působení botnadla na pevnost nabývá optimální hodnoty, a to opět pro koncentraci hydroxidu sodného 20 % a dobu působení 30 sekund. Analytický průběh této závislosti lze popsat podobně jako tomu bylo pro vliv koncentrace hydroxidu sodného na pevnost spojů v obr. 14. Rovněž i v tomto případě vystačí experimentální průběh křivky.

Pevnost s rostoucí teplotou botnadla klesá. Průběhy křivek na obr. 18 mají tento analytický charakter

$$F = A T^{-n} \quad (8)$$

v němž veličiny A a n nezávisejí na teplotě. Pro křivky uvedené na obr. 18 dostaneme závislosti (8) v těchto tvarech:

$$F_{14} (\text{mN}) = 1080 T^{-1} (\text{°C}), \quad F_{16} (\text{mN}) = 870 T^{-0,8} (\text{°C}).$$

$$F_{18,20,22} (\text{mN}) = 350 T^{-0,25} (\text{°C}) \quad (9)$$

Z těchto závislostí je patrné, že veličiny $A = A(c)$ a $n = n(c)$ jsou klesajícími funkcemi koncentrace.

Je třeba připomenout, že analytické vyjádření závislosti pevnosti na různých vlivech je výhodné znát pro automatizaci procesů zpevňování botnáním, a to až již byly získány z teoretických úvah nebo experimentálně. Jak ukázaly výše uvedené vztahy je třeba je vždy určit pro každou technologii odděleně. To ovšem platí i při změně kvality bavlny.

Zatímco předchozí úvahy sloužily pro zvládnutí technologie procesů zpevňování vlákenných materiálů z bavlny, budou další úvahy orientovány na vlastnosti získaných vzorků a jejich výklad. Proto nyní obrátíme pozornost na grafy obr. 19 až 25 a na tabulky 6 a 7.

Nejprve věnujme pozornost botnáním zpevněných přízi, jejichž příprava byla již popsána v odst. 4.5. Spoj vznikne přítlakem dvou částí přízi a působením botnadla, přítlaku a doby. Z pracovních diagramů na obr. 19 získané mechanické charakteristiky shrnuje tab. 6. Z ní je vidět, že s rostoucí koncentrací botnadla za stálého přídavku močoviny se postupně zvyšuje mechanický modul, který je určen převážně hustotou tuhých vazeb mezi vlákny. Pevnost, která je citlivá i na další charakteristiky vazeb, jako je jejich rozložení a j. roste s koncentrací botnadla mnohem rychleji a je pro koncentraci 20 % NaOH a 1,5 % močoviny optimální. Vliv močoviny na pevnost spojů pro 16 % hydroxid sodný již není tak výrazný. S rostoucí koncentrací užitého botnadla roste poněkud i tažnost spojů. To je v souladu s mechanismem botnání. S rostoucím botnáním roste i podíl fibril, vý-

tvářejících gel, které po vyschnutí jsou odděleny od kompaktního vlákna a způsobují tak vyšší tažnost textilie. Ten-to výklad potvrzuje i snímek z rastrovacího mikroskopu na obr. 27. Trhací práce, která je integrální charakteristikou a zahrnuje v sobě veličiny předchozí, rovněž potvrzuje skutečnost, že koncentrace botnadla 20 % hydroxidu sodného a 1,5 % močoviny jsou pro dosažení nejlepší pevnosti veličinami optimálními.

Podobných výsledků bylo dosaženo i při zkoumání mechanických vlastností při zpevňování plošných útvarů z vláken bavlny. Výchozí surovinou byly v tomto případě nepojená



Obr. 27 Botnání zpevněných vláken-vznik gelu
(zvětšeno 1500 x)

a pojená rouna. Výsledky odpovídající obr. 21 až 25, jsou opět shrnuty v tab. 7. Jak je vidět z tab. 7, nepojená rouna jsou charakteristická nízkým mechanickým modulem a vysokou tažností. To, co odlišuje nejvíce pojené a nepojené vlákenné vrstvy bavlny je mechanický modul, kterému odpovídá tuhost textilie v tahu. Jsou tedy pojené (zpevněné) vlákenné vrstvy botnáním trojnásobně tužší než odpovídající rouno. Při optimálních pojicích podmínkách vzrostete pevnost textilie proti nepojenému rounu odpovídající plošné hmotnosti více než dvojnásobně. Zpevněním se dosahuje podstatně nižší tažnosti textilie. Rovněž i trhací práce se zpevněním téměř zdvojnásobi. Porovnáváme-li rouno plošné hmotnosti 150 g/m^2 s pojenou textilií plošné hmotnosti 100 g/m^2 zjistíme, že jeho pevnost je srovnatelná s pevností zpevněné textilie hydroxidem sodným s tenzidem bez přídavku močoviny. Stejně je tomu i s trhací prací. Oba typy textilií se však liší v modulech a tažnosti, takže jde v podstatě o textilie zcela odlišné, 150 g/m^2 stejně pevné rouno je mnohem méně tuhé než textilie pojená. To odpovídá zvýšenému počtu vazeb a spojů mezi vlákny pojené vlákenné vrstvy.

Výsledky získané z měření mechanických vlastností plně potvrzdily výsledky měření technologických a jsou s nimi v naprostém souladu.

4.6.8 Souhrn výsledků a diskuse

Měření provedená na spojích přízi a na vrstvových vlákenných textiliích se základní surovinou zpevněnou botnáním bavlněných vláken umožnila nalézt optimální podmínky pro

složení botnadla používaného ke zpevnění rouna z vláken bavlny. Měření prokázala, že optimální složení botnadla je 20 % NaOH za přidání 1,5 % močoviny. Přídavek tenzidů zajišťuje dobrou smáčivost vláken botnadlem. Při užití chloridu zinečnatého jako botnadla je průběh pevnosti na koncentraci monotonní. Účinnost tohoto botnadla na botnání a pevnost spojů mnohonásobně převyšuje účinnost hydroxidu sodného. Zkoušení mechanických vlastností botnáním pojených vlákenných soustav bavlny prokázalo, že dochází k měřitelnému zpevnění vlákenné vrstvy. Hlavní veličinou, která popisuje zpevnění vlákenné vrstvy je mechanický modul související s tuhostí v tahu. Botnáním zpevněné vlákenné vrstvy bavlny mají několikanásobně dvoj- až čtyřnásobně vyšší moduly, dvojnásobně vyšší pevnost, menší tažnost, než jim odpovídající rouno. Je tedy z obecně teoretického hlediska jasné, že dochází ke spojům mezi vlákny. Mechanismus zpevňování spočívá v několika fázích. V první fázi dochází k zbotnání vláken bavlny. Botnání závisí na původu a kvalitě bavlny. I když bavlna obsahuje více než 90 % celulózové složky, dochází vlivem dalších složek k retardaci botnání proti regenerované vlákenné celulóze. Na poměrně snadném botnání celulózy je založena technologie Eisenhut, která užívá snadné botnatelnosti čistých celulózových vláken ve směsi s bavlnou a pro botnání užívá 7 % hydroxid sodný jako botnadlo optimální koncentrace. Při zpevňování čisté bavlny je proto třeba, ve shodě s výsledky Eisenhut technologie, užít radikálnějšího botnadla, jak bylo ukázáno na měření vlastností zpevněných vláknových vrstev připravených z bavlněných vláken. Velmi účinným botnadlem se ukázal roztok chloridu

žinečnatého. Botnání odděluje fibrily z celulózových vláken a vytváří s vodou gelovou strukturu. Uvolněné fibrily makromolekul celulózových vláken se mohou snadněji dostat do kontaktu a molekulárními silami působícími na krátké vzdálenosti a vodíkovými můstky vytvořit adhezní, autohezní či kohezní spoje. Po odpaření vody se zvýší vazba mezi fibrilami. Čím větší část objemu vláken zbotnalo, tím tažnější je textilie ve shodě se získanými výsledky. Přitlakem se zvyšuje pravděpodobnost kontaktu fibril a tedy i počet a hustota míst spojů, textilie se stává tužší, má větší mechanický modul. Rovněž i čas botnání zvyšuje pravděpodobnost kontaktu a po vysušení i pevnost vazby. Zvýšením teploty dochází k snížení pravděpodobnosti kontaktu fibril a tedy i k snížení pevnosti pojene textilie vlivem působení teplotního pohybu, což je v souladu s dosaženými výsledky.

I když byla během výzkumu pojene bavlněných vláken jejich botnáním v hydroxidu sodném s přídavkem močoviny nalezena optimální koncentrace močoviny, nebyl diskutován její molekulární význam na pojene botnáním. Jak vyplývá z tab. 6 a 7, ovlivňuje přídavek močoviny příznivě tuhost, pevnost a tažnost výsledných textilií. Jak je uvedeno na obr. 26 byla prováděna rovněž mechanická měření při cyklickém namáhání vzorků a to jedním cyklem a deseti cykly užitím zatěžovací síly rovné 60 % pevnosti. Měření ukázala, že při namáhání vzniká hysteréza. Hodnoty hysterézní práce určené z křivky na obr. 26 činily pro vzorek zpevněný botnáním při užití 20 % roztoku NaOH s přídavkem 0,5 % tenzidu $7,6 \cdot 10^{-3}$ J pro jeden cykl a $2,8 \cdot 10^{-3}$ J pro deset cyklů.

pro vlákenné vřetvy zpevněné botnáním ve 20 % NaOH za pří-
davku 1,5 % močoviny a 0,5 % tenzidu nabývala hysterézní
práce hodnoty $5,4 \cdot 10^{-3}$ J pro jeden cykl a $1,76 \cdot 10^{-3}$ J
pro deset cyklů. Z uvedených hodnot vyplývá, že v prvním pří-
padě se cyklickým namáháním vzorků sníží hysterézní práce
2,7 krát a ve druhém případě 3,1 krát. Pro vzorek zpevněný
botnáním v NaOH za přídavku močoviny klesla hysterézní prá-
ce proti vzorku zpevněnému při botnání pouze v hydroxidu.
Ze všech uvedených skutečnosti vyplývá, že močovina má
schopnost bavlněná vlákna zpevňovat, zatím co úloha hydro-
xidu sodného je vlákna nabotnávat. Snižení velikosti hyste-
rézních ploch pro NaOH s přídavkem močoviny lze vyložit
stabilizujícím účinkem močoviny. Rovněž i cyklické namáhá-
ní má význam stabilizace vazeb vláken celulózy. Vznik vět-
šího počtu, nebo silnějších vazeb působením močoviny lze
vyložit její molekulární a izomérní strukturou. Karbonylo-
vá forma močoviny může s kyslíky, případně hydroxylovými
skupinami celulózy vytvářet vodíkové můstky a tím i zesi-
lit spoje mezi molekulami nabotnálych fibril. Strukturní
izoforma močoviny pak může vytvořit s kyslikem celulózy,
případně s hydroxilovou skupinou iontové vazby, které jsou
mnohem silnější než vazby molekulární. Přidavek močoviny
se projevuje jako stabilizující faktor pro zvýšení celko-
vé vazby mezi molekulami celulózy, jak bylo potvrzeno ex-
perimentálně v této práci.

5 ZÁVĚR

Tato práce vedla ke zjištění základních podmínek, za kterých je možné vytvořit potřebné autochezní spoje ve vlákenné vrstvě z bavlny. Tyto podmínky je možné aplikovat jak při technologických procesech založených na impregnaci rou- na, tak i při využití nových metod založených na řízeném vnášení pojiva (botnadla) do vlákenné vrstvy /60, 61/. Využití získaných výsledků k těmto technologickým aplikacím si vyžadá samostatné ověření.

POUŽITÁ LITERATURA

1. JAWICH, M.B.S. : Práce ke zkoušce z textilních materiálů v rámci aspirantského minima, VŠST Liberec 1982
2. ALBRECHT, W. : Trendy vývoje a uplatnění netkaných textilií, Vlnařský informativní přehled č. 5, VÚV Brno 1982
3. PIKOVSKIJ, G.J.: Textil budoucnosti, SNTL Praha 1977
4. KRČMA, R. : Stroje a chemická technologie netkaných textilií, skripta, VŠST Liberec 1983
5. Br.Pat.131 964
6. Br.Pat.1 424 311
7. US.Pat.4 275 195
8. Br.Pat.1 506 293
9. LÜNENSCHLOSS, J.; ALBRECHT, W. : Vliesstoffa, Georg Thieme Verlag, Stuttgart 1952
10. STOVER, H. Vlkenná páska zpevněná celulózovými vlákny, Derw. Pladac 1981, A₃ - A₄
11. 643-BRD DOS 2 814 452
12. SCHAPPEL, J.W.; HOCK, M. : Cellulosische Bindefasern Chemiefasern, 1973 č. 8, s.740-746
13. KRČMA, R.; CHRPOVÁ, E. : Stroje a mechanická technologie netkaných textilií, skripta, VŠST Liberec 1983
14. WINCH, A.R. : Cotton one of the oldest and newest fibres for nonwoven applications. Inda tech. sym. nonwoven technol. (kissimmer, F.L.) 8,s.224-253, (March 19-21, 1980)
15. BLAŽEJ, A.; ŠUTÁ, Š. : Vlastnosti textilních vláken, ALFA, Bratislava 1982

16. WARD, K.Ed. : Chemistry and chemical Technology of Cotton, Interscience, London 1955
17. Mc KELVEY, J.B. : Text.Res.J., 34, s. 368, 1964
18. BIKALES, N.M.; SEGAL, L.Eds. : Cellulose and Cellulose derivates, parts IV-V Wiley, Interscience, New York 1971
19. HEARLE, J.W.S.; MILES, L.W.C. : The Setting of Fibres and Fabrics, Marrow, England 1971
20. JEFFRIES, R. a kol.: Cell. Chem. Technol. 3, s. 255, 1969
21. ROWLAND, S.P. a kol. : Text.Res.J. 46, s. 194, 1976
22. SADOV, F.J. a kol. : Chemiceskaja technologija voloknitsich materialov, Chimija, Moskva 1968
23. DOMETSCH, H.H.; DOLMETSCH, H. : Text.Res.J. 39, s. 568 1969
24. ROLLINS, W.L. a kol. : Amer. Dyestuff.Rept. 52, P 479, 1963
25. KAVÁLEK, J. : Bavlna, klasifikace, hodnocení, přejimka, Hradec Králové 1978
26. REICHSTÁDTER, B. : Studium vzniku ojinění u tkanin s obsahem polyesterových vláken, Kandidátská disertační práce, VÚV, Brno 1967
27. ROWLAND, S.P. a kol. : Text. Res.J. 42, s. 122, 1972
28. SADOV, F.J. a kol. : Chemiceskaja technologija voloknitsich materialov, Chimija, Moskva 1968
29. WAGNER, R.E.; PASH, E. : Text.Res.J. 22, s. 12, 1952
30. PETERSEN, H. : Melland Textilber., s. 54, s. 415, 529, 669, 1973
31. PETERSEN, H. : Text.Res.J., 40, s. 335, 1970

32. PETERSEN, H. : Textilveredlung, 8, s.412, 1973
33. GONZALES, E.J. a kol.:Text.Res.J.,36,s.571,1966
34. GONZALES, E.J. a kol.:Text.Res.J.,s.726, 1967
35. ENDERS, H. : Melland Textilber.,38,s.547,
1957
36. MARSCH, J.T. : Textile Mfr.,85,s.35, 1959
37. OLLAGNIER, M. : Chemie and Industrie,79,s.770,
1958
38. TOLEY, H. : Text.Res.J.,31,s.185,1961
39. PETERS, R.: Textile chemistry, volume I,
Elsevier publ. comp., Amsterodam,
London, New York, 1963
40. BLAŽEJ, A. a kol. : Chémia dreva, ALFA, Bratislava
1975
41. ROGOVIN, Z.A.; ŠORYGINA, N.N. : Chimija cellulozy i je-
jo sputnikov, 1.izd., Moskva
1953
42. BARTHEL, P.; PHILLIP, B. : Faserforschung und Textil-
technik,17,s.186, 1966
43. HERZOG, R.O.; BECK, F. : Z.plysiol.chem.111, s.287,
1920
44. VEJMARN, P.P. : Koll.Z.11, s.41, 1912
45. HATA, K.; YOKATA, K. :J.Soc.Fiber.Sci.Technol., 26,s.
571, Japan 1970
46. FOWER, W.F. a kol. : J.Am.Chem.Soc., 69,s.19636,1947
47. SCHWEIGER, R.G. : Chem and Ind., s.296, 1969
48. HESS, K.; TROGUS, C. :Ber., 68, s.1986, 1935
49. DANILOV, S.N.; KOZAKOVIČ, A.Ž. : Prihl. chim., 13,
s.1667, 1940
50. TRAUBE, W. : Ber.44, s.2319, 1911
51. FRANKE, W. : Ann.486, s.242, 1931

52. JAYME, G.; LANG, F. : Koll.Z., 144, s.75, 1955
53. HOUVINK, A.; SALAMON, G. : Adhesion and Adhesives, Vol I Adhesives, Elsevier, Amsterdam 1965
54. KOLÍNSKÝ, O. : Přehled o lepidlech či adhezive Chemie, s.2-4, 1951
55. WEBER, K. : Pojené textilie, Mezinárodní konference o netkaných textiliích, Dům techniky, Brno 1968
56. KREJČÍ, F. : Adheze a pojení v textilním průmyslu, Zborník přednášek z VII. celostátní konference textilní chemikov, II. část, Žilina 21. 23.4.1971
57. LANGE, H. : Koll.Z.s.136, 1954
58. ELEY, D.D. : Adhesion, Oxford University Press, Oxford 1961
59. PARKER, R.S.R.; TAYLOR,P. : Adhesion and Adhesives, Pergamon Press, Oxford 1966
60. KRČMA, R.; JAWICH, M.B.S. : Způsob výroby vpichovaných textilií z bavlny, PV 8056 - 83
61. KRČMA, R.; JAWICH, M.B.S. : Způsob výroby pojených textilií z bavlny, PV 585 - 84

SEZNAM OBRÁZKŮ

- Obr. 1 Struktura bavlněného vlákna
- Obr. 2 Molekuly vody vázané vodíkovými můstky přímo na OH skupiny a další, molekuly vody vázané na vodu z první vrstvy
- Obr. 3 Procenta neobarvených vláken
- Obr. 4 Změny v délce bavlněných vláken při zpracování v sérii roztoků hydroxidu sodného
- Obr. 5 Změny v množství celulózy II vytvořené v bavlněném odpadu, vyjádřené jako funkce koncentrace hydroxidu sodného
- Obr. 6 NaOH a H_2O nasáklé deskou celulózy při $25^{\circ}C$
- Obr. 7 Absorpce vody a NaOH bavlnou
- Obr. 8 Vyvěrání celulózy z konců vlasového fragmentu, smočeného v 30 % NaOH
- Obr. 9 Volná srážlivost odřených surových a praných vláken
- Obr. 10 Schema systému příze - příze
- Obr. 11 Botnání bavlněného vlákna v roztoku NaOH
- Obr. 12 Uložení přízí na podložním mikroskopickém skle
- Obr. 13 Zařízení pro regulovatelný přitlak
- Obr. 14 Vliv koncentrace na pevnost spojů
- Obr. 15 Vliv koncentrace $ZnCl_2$ na pevnost spojů
- Obr. 16 Vliv přitlačné síly na pevnost spojů
- Obr. 17 Závislost pevnosti na době působení botnadla
- Obr. 18 Vliv teploty botnadla na pevnost spojů
- Obr. 19 Závislost síly na deformaci (proměnná koncentrace NaOH)
- Obr. 20 Závislost síly na deformaci (proměnná koncentrace močoviny)

- Obr.21 Pracovní křivka F - L
- rouno nepojené o hmotnosti 0,050 kg . m⁻²
- Obr.22 Pracovní křivka F - L
- rouno nepojené o hmotnosti 0,100 kg . m⁻²
- Obr.23 Pracovní křivka F - L
- rouno nepojené o hmotnosti 0,150 kg . m⁻²
- Obr.24 Pracovní křivka F - L
- rouno o hmotnosti 0,100 kg . m⁻² pojené 20 %
NaOH + 0,5 % tenzidu
- Obr.25 Pracovní křivka F - L
- rouno o hmotnosti 0,100 kg . m⁻² pojené 20 %
NaOH + 1,5 % močoviny + 0,5 % tenzidu
- Obr.26 Pracovní diagram cyklického namáhání
- Obr.27 Botnání zpevněných vláken -vznik gelu

Příloha - tabulky měření

Příloha 1

Tab.7a Vliv koncentrace NaOH na sílu spoje /mN/

číslo vzorku	Koncentrace NaOH v%					
	14	16	18	20	22	24
1	12,4	20,5	35,4	38,6	30,5	28,0
2	10,6	24,3	32,8	40,0	38,8	35,6
3	14,2	19,7	29,5	38,0	37,6	32,0
4	12,8	22,0	36,4	45,1	42,1	40,2
5	11,5	26,5	30,6	40,2	37,5	38,4
6	13,0	21,0	34,2	37,4	33,6	30,6
7	10,9	19,8	28,0	41,5	36,0	29,8
8	15,8	22,6	33,7	37,0	29,7	41,5
9	9,0	19,0	26,5	48,2	43,5	39,0
10	12,0	24,0	35,7	41,5	40,3	36,4
$\sum x$	122,2	219,4	322,8	407,5	369,6	351,2
\bar{x}	12,22	21,94	32,28	40,75	36,96	35,12
s	1,817	2,285	3,265	3,374	4,371	4,509
v/%/	14,8	10,4	10,1	8,2	11,8	12,8

Tab.8 Vliv koncentrace NaOH s přídavkem 0,5% močoviny na sílu spoje /mN/

číslo vzorku	Koncentrace NaOH s přídavkem 0,5% močoviny					
	14	16	18	20	22	24
1	22,5	37,0	43,0	58,6	48,5	50,6
2	20,8	39,5	32,8	47,0	50,3	58,2
3	19,6	43,2	54,6	65,3	60,7	49,6
4	24,5	30,0	58,2	56,2	56,0	52,1
5	22,7	29,0	49,5	72,1	59,8	55,6
6	27,5	40,5	60,8	56,5	60,5	58,4
7	35,4	46,0	58,0	64,8	47,6	42,5
8	24,0	34,2	65,4	70,5	55,2	50,7
9	15,6	41,8	61,2	68,0	64,6	68,5
10	29,0	40,6	69,8	54,8	50,7	45,0
$\sum x$	241,6	381,8	553,3	613,8	553,9	531,2
\bar{x}	24,16	38,18	55,33	61,38	55,39	53,12
s	5,208	5,299	10,414	7,598	5,612	7,076
v/%/	21,5	13,8	18,8	12,4	10,1	13,3

Příloha 2

Tab.9 Vliv koncentrace NaOH s přídavkem 1,0% močoviny na sílu spoje/mN/

číslo vzorku	Koncentrace NaOH s přídavkem 1,0% močoviny					
	14	16	18	20	22	24
1	46,2	86,9	110,0	135,5	130,0	98,6
2	39,4	80,5	130,7	150,6	140,1	102,5
3	45,6	105,2	128,0	130,0	110,6	114,8
4	28,0	98,6	90,6	112,5	136,2	97,6
5	39,6	86,0	142,5	150,4	150,0	109,0
6	60,2	72,5	115,3	122,8	115,6	108,0
7	54,5	85,4	105,8	140,0	158,2	140,0
8	58,1	115,6	130,2	105,6	110,0	115,7
9	40,0	90,0	100,1	156,0	98,7	89,3
10	53,5	75,4	118,6	128,7	107,0	112,6
$\sum x$	465,1	896,1	1171,8	1332,1	1256,4	1088,2
\bar{x}	46,51	89,61	117,18	133,21	125,64	108,82
s	9,584	12,709	15,150	15,807	19,073	13,124
v/%	20,6	14,2	12,9	11,8	15,2	12,1

Tab.10 Vliv koncentrace NaOH s přídavkem 1,5% močoviny na sílu spoje /mN/

číslo vzorku	Koncentrace NaOH s přídavkem 1,5% močoviny					
	14	16	18	20	22	24
1	52,4	76,2	153,1	168,0	173,0	155,1
2	47,6	68,4	170,6	155,1	160,3	160,5
3	58,5	84,0	165,0	185,6	144,9	150,2
4	60,1	67,5	148,3	172,0	184,0	140,5
5	65,3	89,3	173,0	166,2	160,5	172,0
6	54,0	91,2	165,0	172,5	155,4	163,1
7	62,0	100,5	140,2	156,3	184,2	172,3
8	70,6	84,8	177,5	178,0	168,0	138,4
9	58,4	78,6	138,6	181,4	171,0	142,6
10	45,6	83,0	159,0	170,0	156,4	159,6
$\sum x$	574,5	823,5	1590,3	1705,1	1657,7	1554,3
\bar{x}	57,45	82,35	159,03	170,51	165,77	155,43
s	7,342	9,655	12,898	9,344	12,021	11,687
v/%	12,7	11,7	8,1	5,4	7,2	7,5

Příloha 3

Tab.11 Vliv koncentrace NaOH s přídavkem 2,0 % močoviny na sílu spoje /mN/

číslo vzorku	Koncentrace NaOH v% s přídavkem 2,0 % močoviny					
	14	16	18	20	22	24
1	49,8	72,0	110,0	140,0	126,0	116,0
2	52,6	80,4	145,2	152,6	135,0	138,0
3	38,2	65,8	155,1	160,4	150,4	145,6
4	45,8	84,5	168,4	170,3	158,6	168,0
5	55,6	75,2	132,6	151,3	160,0	138,6
6	40,1	86,1	115,2	143,0	124,6	112,0
7	59,5	82,6	120,4	128,6	161,3	128,4
8	48,0	89,5	106,0	169,5	115,8	105,0
9	32,6	61,4	148,6	148,3	142,0	127,6
10	65,0	58,6	151,3	170,0	113,6	132,4
$\sum x$	487,2	755,3	1352,8	1534,0	1387,3	1313,0
\bar{x}	48,72	75,53	135,28	153,40	138,73	131,30
s	9,480	10,314	20,373	13,428	17,420	17,451
v/%	19,4	13,6	15,0	8,7	12,5	11,0

tab.12 Vliv koncentrace ZnCl₂ na sílu spoje/mN/
teplota 20°C, přítlač 10,2N

číslo vzorku	Koncentrace ZnCl ₂ v %						
	10	20	30	40	50	60	70
1	26,3	45,7	73,9	96,8	133,1	230,0	405,0
2	35,4	48,9	85,3	105,6	148,1	252,7	420,8
3	22,6	60,2	77,6	122,0	156,7	216,4	400,0
4	40,2	29,3	90,3	99,6	108,6	245,0	438,7
5	20,3	53,6	65,4	80,4	127,2	198,6	452,3
6	38,8	44,8	72,9	91,3	139,6	263,2	390,7
7	20,1	71,3	56,8	78,6	146,7	238,0	381,2
8	18,0	40,8	75,6	89,0	160,3	224,3	415,6
9	45,3	37,6	81,4	112,4	120,6	205,8	398,0
10	30,8	22,7	78,1	113,6	118,0	258,0	418,6
$\sum x$	297,8	454,9	757,3	989,3	1358,9	2332,0	4120,9
\bar{x}	29,78	45,49	75,73	98,93	135,89	233,20	412,09
s	9,216	13,513	9,064	13,754	16,387	20,921	20,645
v/%	30,0	29,7	11,9	13,9	12,0	9,0	5,0

Příloha 4

Tab.13 Vliv koncentrace $ZnCl_2$ na sílu spoje /mN/, tepelný šok 90°C, doba šoku 30 s, přitlak 10,2 N

číslo vzorku	Koncentrace $ZnCl_2$ v %					
	10	20	30	40	50	60
1	84,6	180,6	540,2	895,0	1306,0	1886,0
2	90,2	201,4	510,6	915,8	1320,7	1902,3
3	76,8	160,3	575,2	874,0	1284,5	1864,3
4	86,5	168,7	538,6	856,8	1334,0	1900,8
5	74,1	195,4	556,3	920,3	1296,0	1875,0
6	88,7	215,0	495,8	916,0	1288,7	1880,4
7	97,6	170,3	529,4	872,0	1300,0	1874,0
8	108,2	170,1	560,2	865,4	1290,4	1860,3
9	70,1	224,3	570,3	882,6	1322,7	1891,7
10	80,0	200,7	530,0	900,7	1316,5	1934,0
$\sum x$	856,8	1886,8	5406,6	8898,6	13059,5	18869,3
\bar{x}	85,68	188,68	540,66	889,86	1305,95	1886,9
s	10,810	20,654	24,205	21,736	15,906	20,565
v/%	12,6	10,9	4,4	2,5	1,2	1,1

Tab.14 Vliv přitlaku na sílu spoje /mN/, přitlak 1,2 N

číslo vzorku	Koncentrace NaOH v %			Koncentrace NaOH v % s přídavkem 1,5% moč.		
	18	20	22	18	20	22
1	17,4	22,8	28,0	42,8	61,3	49,5
2	18,5	28,6	22,6	55,6	56,4	52,6
3	12,8	26,2	19,5	40,8	48,6	38,4
4	18,0	21,7	17,6	61,2	70,9	60,0
5	24,3	35,4	33,4	58,4	65,3	70,3
6	22,0	30,2	29,6	48,6	41,3	40,7
7	29,6	28,6	32,1	69,4	52,6	36,5
8	30,9	20,8	16,5	55,0	50,8	39,0
9	26,3	29,5	21,0	47,9	67,4	45,6
10	20,0	34,6	25,0	65,3	71,8	51,5
$\sum x$	220,0	275,7	253,3	545,0	589,4	484,1
\bar{x}	22,00	27,54	25,33	54,50	58,44	48,41
s	5,494	4,808	5,736	8,962	9,274	10,197
v/%	24,9	17,4	22,6	16,4	15,8	21,0

Příloha 5

Tab.15 Vliv přítlaku na sílu spoje /mN/

číslo vzorku	Koncentrace NaOH v % s přídavkem 1,5% močoviny					
	Přítlak 5,2 N			Přítlak 10,2 N		
	18	20	22	18	20	22
1	81,7	92,6	89,7	153,1	168,0	173,0
2	95,6	105,2	88,6	170,6	155,1	160,3
3	88,0	98,0	105,0	165,0	185,6	144,9
4	101,3	115,6	100,3	148,3	172,0	184,0
5	83,0	97,0	92,6	173,0	166,2	160,5
6	115,0	85,3	79,5	165,0	172,5	155,4
7	99,7	87,9	82,0	140,2	156,3	184,2
8	80,4	110,6	97,5	177,5	178,0	168,0
9	91,0	87,5	90,0	138,6	181,4	171,0
10	102,8	108,4	80,6	159,0	170,0	156,4
$\sum x$	938,5	987,5	905,8	1590,3	1705,1	1657,7
\bar{x}	93,85	98,75	90,58	159,03	170,51	165,77
s	10,529	10,029	8,095	12,898	9,344	12,021
v/%	11,2	10,1	8,9	8,1	5,4	7,2

Tab.16 Vliv přítlaku na sílu spoje /mN/

číslo vzorku	Koncentrace NaOH v % s přídavkem 1,5% močoviny					
	Přítlak 15,2 N			Přítlak 20,2 N		
	18	20	22	18	20	22
1	182,4	178,6	165,4	203,9	226,3	205,2
2	205,6	194,2	155,2	210,3	206,8	184,3
3	168,7	205,4	187,6	197,6	234,5	229,5
4	170,3	186,3	160,8	186,0	248,2	206,4
5	180,6	192,0	188,6	221,0	215,6	176,3
6	149,0	168,3	172,0	193,0	194,2	184,5
7	178,0	198,4	200,0	179,5	186,1	215,7
8	189,5	185,9	148,5	217,0	228,0	186,6
9	190,0	214,3	166,0	224,3	210,5	206,5
10	158,6	206,8	192,4	209,8	217,4	203,0
$\sum x$	1772,7	1930,2	1736,5	2042,4	2167,7	1998,0
\bar{x}	177,27	193,02	173,65	204,20	216,77	199,80
s	15,562	13,199	16,526	14,244	17,635	15,695
v/%	8,7	6,8	9,5	6,9	8,1	7,8

Tab.17 Vliv doby působení botnadla na sílu spoje /mN/
Přítlač 10,2 N, teplota botnadla 20°C

číslo vzorku	Koncentrace NaOH v % Působení 10 s.			Koncentrace NaOH v % Působení 15 s.		
	18	20	22	18	20	22
1	96,2	87,6	70,8	117,3	112,5	105,1
2	81,4	82,6	65,4	86,4	94,3	77,6
3	69,2	76,3	60,2	91,5	87,6	82,4
4	75,3	89,0	90,6	102,1	121,4	98,3
5	88,6	68,4	70,4	114,6	105,6	101,4
6	90,4	91,5	80,1	97,3	123,3	93,5
7	78,1	96,8	78,3	76,4	90,7	84,5
8	56,4	85,2	65,7	105,3	86,5	108,2
9	69,3	100,7	84,1	99,6	115,1	97,7
10	80,0	70,3	59,8	115,2	80,4	103,5
$\sum x$	784,9	848,4	725,1	1005,7	1017,4	951,8
\bar{x}	78,49	84,84	72,51	100,57	101,74	95,18
s	11,124	10,105	9,870	12,626	14,917	9,899
v%	14,1	11,9	13,6	12,5	14,7	10,3

Tab.18 Vliv doby působení botnadla na sílu spoje /mN/
Přítlač 10,2 N, teplota botnadla 20°C

číslo vzorku	Koncentrace NaOH v % Působení 30 s.			Koncentrace NaOH v % Působení 45 s.		
	18	20	22	18	20	22
1	153,1	168,0	173,0	139,6	138,8	102,4
2	170,6	155,1	160,3	153,4	142,7	161,5
3	165,0	185,6	144,9	112,3	178,6	140,3
4	148,3	172,0	184,0	108,6	155,4	129,6
5	173,0	166,2	160,5	161,2	171,5	168,0
6	165,0	172,5	155,4	122,7	140,2	135,2
7	140,2	156,3	184,2	148,6	161,3	151,6
8	177,5	178,0	168,0	130,9	177,0	147,2
9	138,6	181,4	171,0	128,4	164,2	139,7
10	159,0	170,0	156,4	133,7	138,6	140,0
$\sum x$	1590,3	1705,1	1657,7	1339,4	1568,3	1415,5
\bar{x}	159,03	170,51	165,77	133,94	156,83	141,55
s	12,898	9,344	12,021	16,265	15,190	17,186
v%	8,1	5,4	7,2	12,1	9,6	12,2

Příloha 7

Tab.19 Vliv doby působení botnadla na sílu spoje /mN/
Přítlač 10,2N,teplota botnadla 20°C,1,5%močoviny

číslo vzorku	Koncentrace NaOH v %			Koncentrace NaOH v %		
	Působení 60 s			Působení 120 s		
	18	20	22	18	20	22
1	128,6	152,7	138,9	154,3	138,6	141,5
2	109,7	140,3	115,6	105,8	129,5	137,4
3	162,7	131,8	142,6	123,0	112,9	105,6
4	98,5	122,6	118,2	112,6	142,1	88,9
5	112,4	135,2	154,3	140,5	105,8	98,7
6	122,3	160,4	106,7	111,0	115,0	100,3
7	137,6	112,0	89,7	99,4	98,6	114,0
8	118,0	95,6	108,6	89,2	115,7	90,6
9	99,2	160,3	132,1	112,6	152,5	105,4
10	130,8	125,0	116,4	90,5	135,2	129,7
$\sum x$	1219,8	1835,9	1223,1	1138,9	1245,9	1112,1
\bar{x}	121,98	183,59	122,31	113,89	124,59	111,21
s	18,309	19,880	18,433	19,666	16,597	17,934
v/%	15,0	14,8	15,2	17,2	13,3	16,1

Tab.20 Vliv teploty botnadla na sílu spoje/mN/
Přítlač 10,2N,doba působení 30s,1,5 močoviny

číslo vzorku	Teplota 5°C				
	Koncentrace NaOH v %				
	14	16	18	20	22
1	172,0	210,0	240,0	210,6	218,0
2	180,6	195,4	200,5	257,0	235,4
3	168,4	186,3	262,8	230,7	197,5
4	160,2	224,3	256,4	245,3	220,6
5	185,6	195,8	238,5	205,6	186,4
6	169,0	190,8	251,7	258,2	239,2
7	191,6	215,6	265,4	260,6	258,0
8	167,8	205,8	198,6	228,6	210,0
9	155,8	242,0	238,7	190,2	185,6
10	145,6	198,6	227,6	245,0	228,0
$\sum x$	1696,6	2064,0	2380,2	2331,8	2178,4
\bar{x}	169,66	206,40	238,02	233,18	217,84
s	13,139	16,238	22,279	23,182	22,341
v/%	7,7	7,8	9,3	9,9	10,2

Příloha 8

Tab.21 Vliv teploty botnadla na sílu spoje/mN/
Přítlak 10,2 N,doba působení 30s ,1,5% močoviny

číslo vzorku	Teplota 10°C				
	Koncentrace NaOH v %				
	14	16	18	20	22
1	110,0	145,3	205,9	195,0	200,7
2	97,6	156,7	187,0	184,0	215,6
3	121,8	132,5	203,0	220,1	178,4
4	132,5	148,9	192,5	205,4	232,5
5	90,4	120,5	212,4	176,2	204,6
6	115,6	162,1	177,4	190,3	210,0
7	125,8	135,7	220,0	205,4	189,2
8	130,0	115,2	215,7	212,0	186,4
9	109,7	155,6	188,6	189,7	230,6
10	128,5	140,2	210,8	225,0	207,0
Σx	1161,9	1412,7	2013,3	2003,1	2055,0
\bar{x}	116,90	141,27	201,33	200,31	205,50
s	13,504	14,737	13,449	15,093	16,948
v/%	11,5	10,4	6,7	7,5	8,2

Tab.22 Vliv teploty botnadla na sílu spoje /mN/
Přítlak 10,2 N,doba působení 30s,1,5% močoviny

číslo vzorku	Teplota 15°C				
	Koncentrace NaOH v %				
	14	16	18	20	22
1	78,6	100,5	178,4	181,2	175,6
2	82,4	115,6	170,2	185,4	163,0
3	70,2	90,4	186,5	194,3	184,6
4	86,5	121,5	167,7	205,8	180,2
5	94,1	85,6	190,5	174,2	158,6
6	70,3	90,4	170,0	178,6	179,0
7	88,0	104,2	165,2	165,9	190,0
8	72,5	98,6	180,3	193,6	165,1
9	80,7	112,4	173,5	180,0	185,6
10	69,5	96,0	180,1	192,7	170,0
Σx	792,8	1015,2	1762,4	1851,7	1751,7
\bar{x}	79,28	101,50	176,24	185,17	175,17
s	8,153	11,241	7,889	11,018	10,043
v/%	10,2	11,0	4,5	5,0	5,7

Příloha 9

Tab.23 Vliv teploty botnadla na sílu spoje/mN/
Přítlak 10,2N,doba působení 30s,1,5% močoviny

číslo vzorku	Teplota 20°C				
	Koncentrace NaOH v %				
	14	16	18	20	22
1	52,4	76,2	153,1	168,0	173,0
2	47,6	68,4	170,6	155,1	160,3
3	58,5	84,0	165,0	185,6	144,9
4	60,1	67,5	148,3	172,0	184,0
5	65,3	89,3	173,0	166,2	160,5
6	54,0	91,2	165,0	172,5	155,4
7	62,0	100,5	140,2	156,3	184,2
8	70,6	84,8	177,5	178,0	168,0
9	58,4	78,6	138,6	181,4	171,0
10	45,6	83,0	159,0	170,0	156,4
$\sum x$	574,5	823,5	1590,3	1705,1	1657,7
\bar{x}	57,45	82,35	159,03	170,51	165,77
s	7,342	9,655	12,898	9,344	12,021
v/%	12,7	11,7	8,1	5,4	7,2